Conductivité (Drude) Surfaces de Fermi, densité d'états Propriétés des gaz quantiques

ELECTRONS DANS POTENTIEL PERIODIQUE

Réseaux cristallins, réseau réciproque, phonons Fonctions de Bloch ,vitesse moyenne, masse effective Densité d'états, isolants vs métaux Electrons presque libres, liaisons fortes

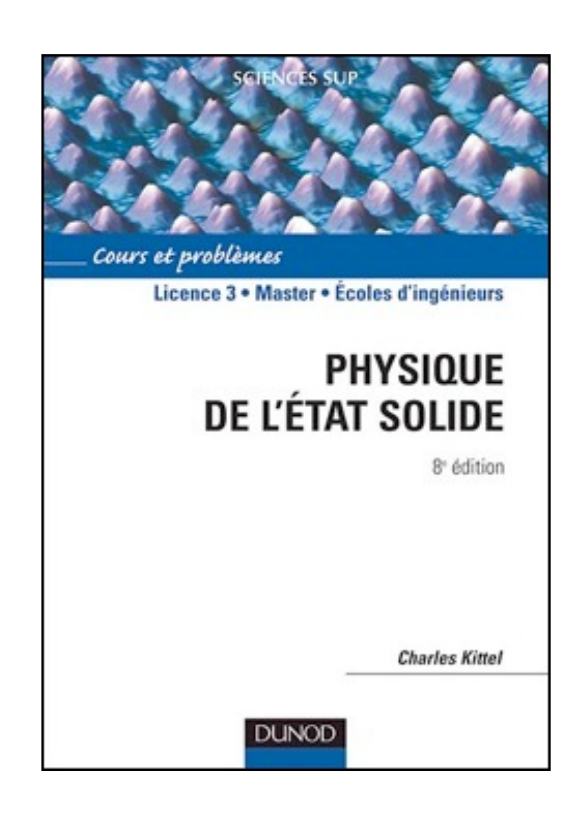
TRANSITIONS ELECTRONIQUES

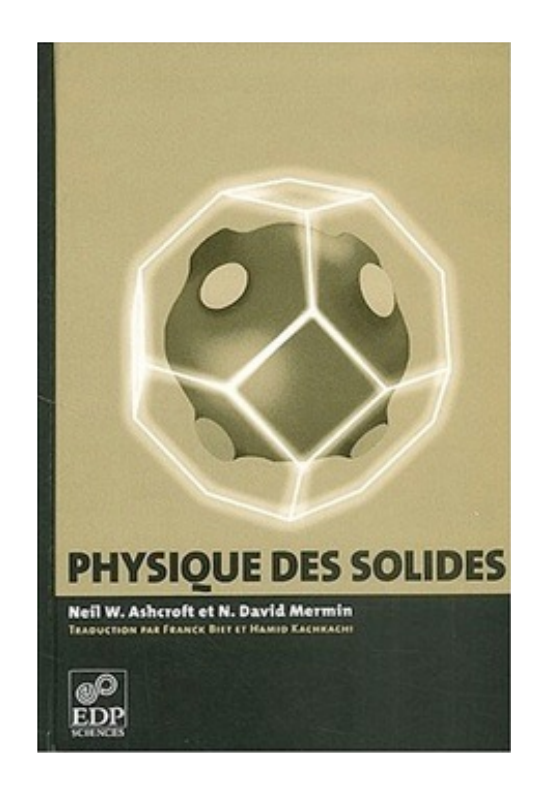
Transition isolant métal
Influence des corrélations et du désordre
Interaction e/phonons : ondes de densité de charges
Notions de supraconductivité
Classification des solides, énergie de cohésion

Thierry Klein: Physique du solide II: structure électronique des cristaux

13 cours/TD et 2 TPs en laboratoire de recherche (Institut Néel)

Ce cours est basé sur un des deux ouvrages suivants :





RAPPELS SUR LES ELECTRONS LIBRES Conductivité (Drude)

Surfaces de Fermi, densité d'états Propriétés des gaz quantiques

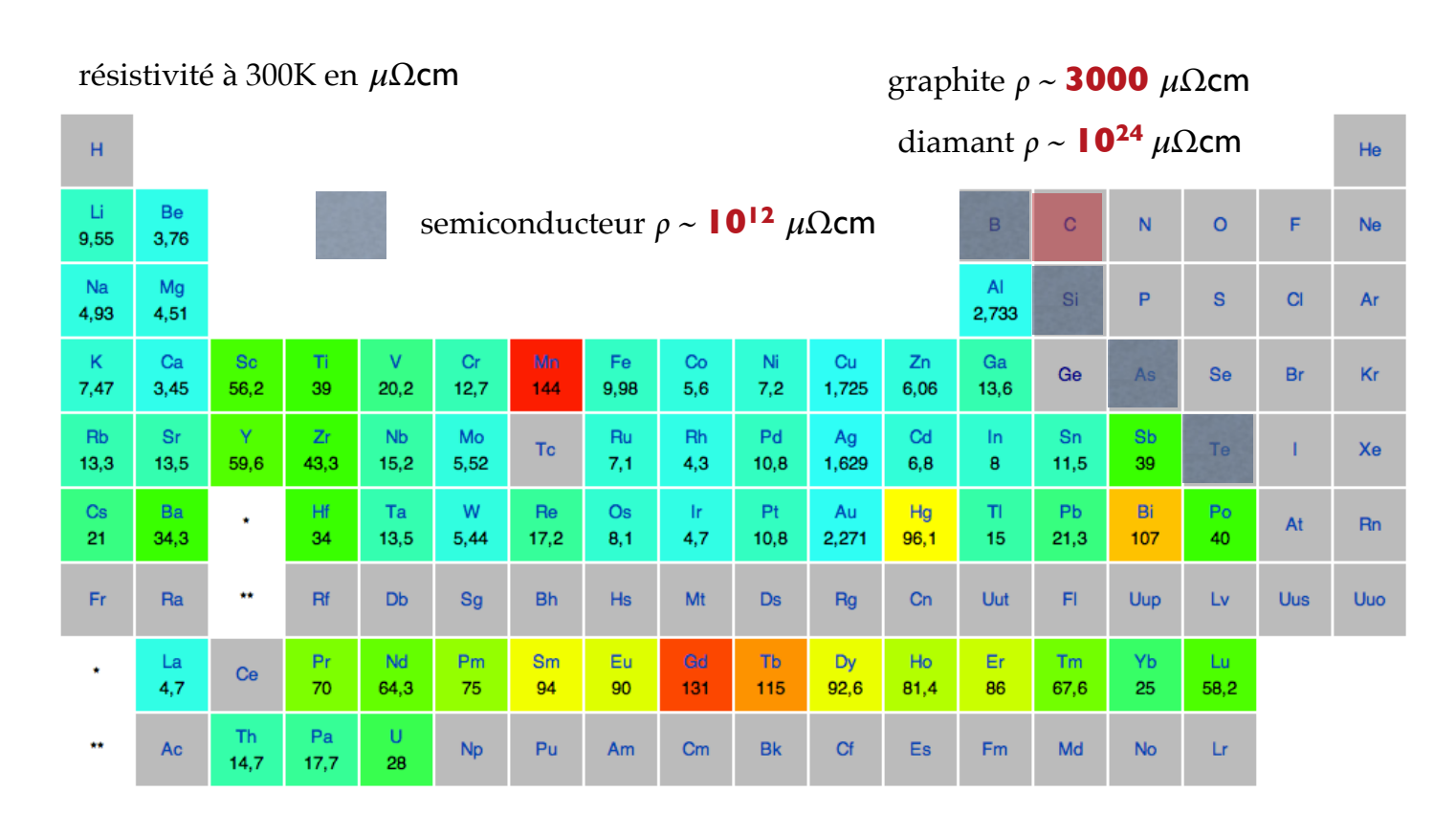
ELECTRONS DANS POTENTIEL PERIODIQUE

Réseaux cristallins, réseau réciproque, phonons Fonctions de Bloch ,vitesse moyenne, masse effective Densité d'états, isolants vs métaux Electrons presque libres, liaisons fortes

TRANSITIONS ELECTRONIQUES

Transition isolant métal
Influence des corrélations et du désordre
Interaction e/phonons : ondes de densité de charges
Notions de supraconductivité
Classification des solides, énergie de cohésion

Pourquoi certains solides sont-ils conducteurs et d'autres non?



Lorsque T \rightarrow 0 certains composés ont une résistivité NULLE (supraconducteurs) alors que les isolants (et semi-conducteurs) ont une résistivité INFINIE (diélectrique)

RAPPELS SUR LES ELECTRONS LIBRES Conductivité (Drude)

Surfaces de Fermi, densité d'états Propriétés des gaz quantiques

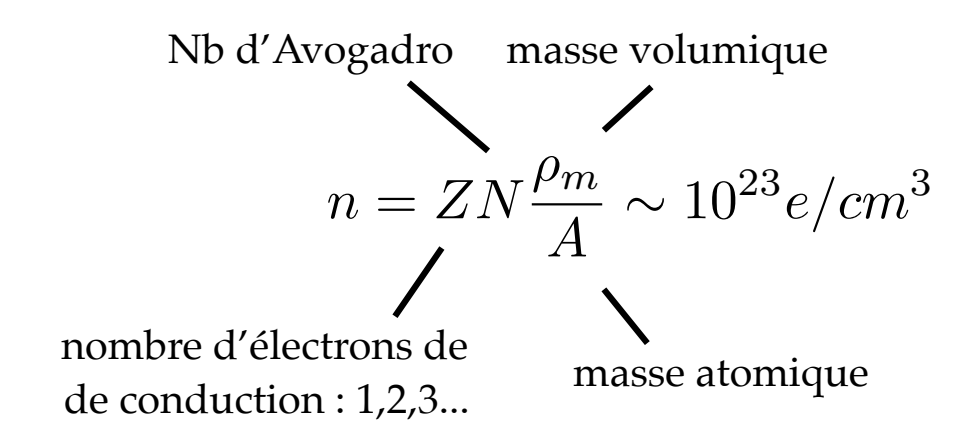
ELECTRONS DANS POTENTIEL PERIODIQUE

Réseaux cristallins, réseau réciproque, phonons Fonctions de Bloch ,vitesse moyenne, masse effective Densité d'états, isolants vs métaux Electrons presque libres, liaisons fortes

TRANSITIONS ELECTRONIQUES

Transition isolant métal
Influence des corrélations et du désordre
Interaction e/phonons : ondes de densité de charges
Notions de supraconductivité
Classification des solides, énergie de cohésion

La difficulté réside dans le grand nombre d'électrons dont il s'agit de déterminer le comportement



Drude suppose que TOUS les *n* électrons contribuent aux propriétés électriques et thermiques du solide

et que la **théorie cinétique** des gaz reste valable (malgré la forte densité + masse faible) MAIS approche statistique **classique**

 $1 \ \text{\'etat microscopique} = 1 \ \text{point (trajectoire)} \ de \ l'espace \ des \ phases \ (r_i,p_i).$ Cette approche suppose que l'on puisse identifier individuellement les particules. Cette notion est IMPOSSIBLE en mécanique quantique. On peut définir la probabilité de trouver une particule dans un domaine de l'espace des phases (de taille h^3) mais <u>on ne peut pas savoir laquelle</u>.

La distribution de Maxwell - Boltzmann n'est PLUS VALABLE → distribution de FERMI - DIRAC (car principe d'exclusion pour les électrons = fermions)

RAPPELS SUR LES ELECTRONS LIBRES Conductivité (Drude)

Surfaces de Fermi, densité d'états Propriétés des gaz quantiques

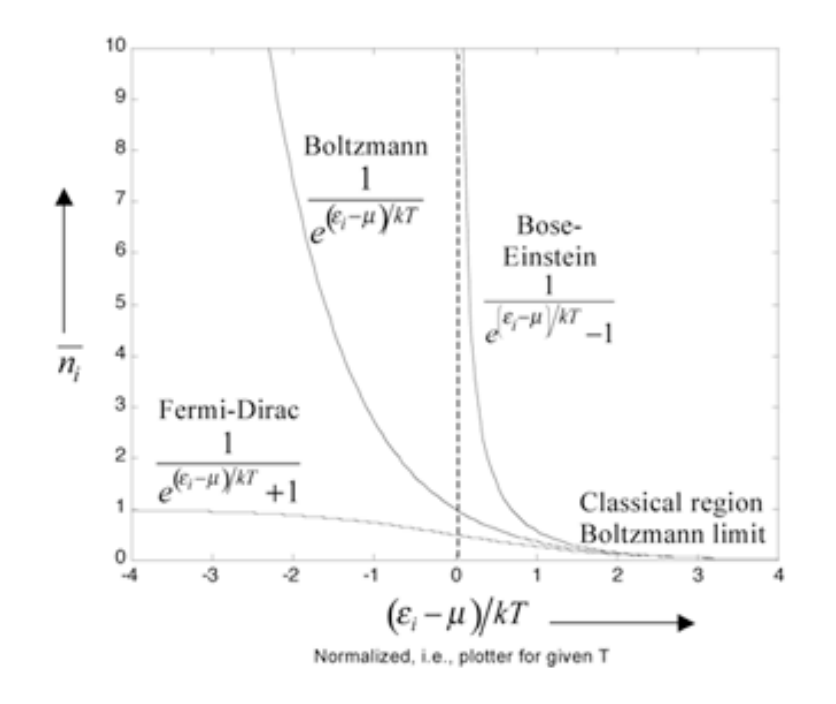
ELECTRONS DANS POTENTIEL PERIODIQUE

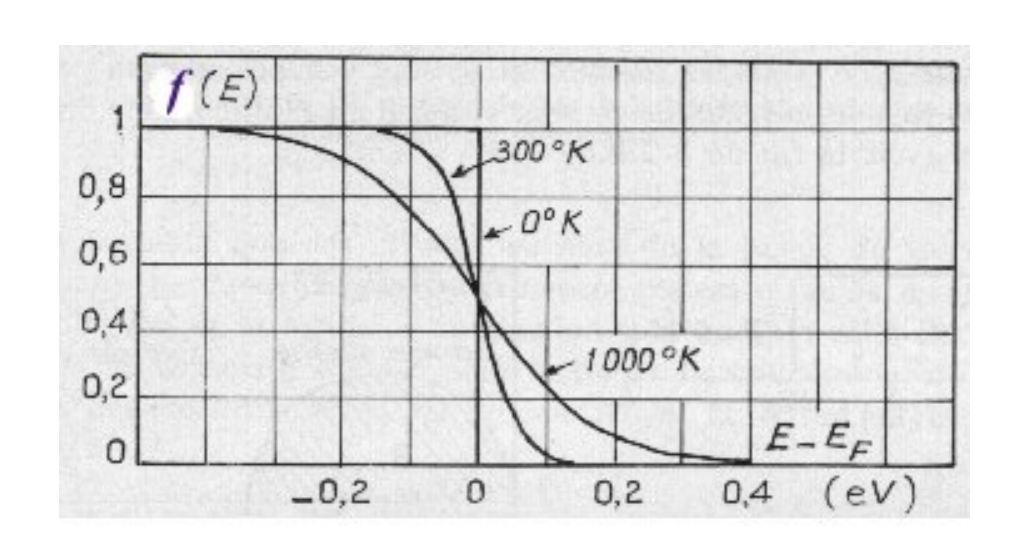
Réseaux cristallins, réseau réciproque, phonons Fonctions de Bloch ,vitesse moyenne, masse effective Densité d'états, isolants vs métaux Electrons presque libres, liaisons fortes

TRANSITIONS ELECTRONIQUES

Transition isolant métal
Influence des corrélations et du désordre
Interaction e/phonons : ondes de densité de charges
Notions de supraconductivité
Classification des solides, énergie de cohésion

	Fonction d'ondes	<n<sub>k></n<sub>	<e></e>
Classique	$\Phi = \prod_{k_i} \phi_{k_i}(r_i)$	$e^{-\beta(E_k-\mu)}$	Equipartition: $I/2mv^2 = 3/2kT \sim 30meV (4K)$
Fermions	ANTI-symétrique (déterminant Slater)	$\frac{1}{e^{\beta(E_k - \mu)} + 1}$	μ/ 2 ~ qq e V
Bosons	Symétrique	$\frac{1}{e^{\beta(E_k - \mu)} - 1}$	~ 0 : condensation





Conductivité (Drude)

Surfaces de Fermi, densité d'états

Propriétés des gaz quantiques

ELECTRONS DANS POTENTIEL PERIODIQUE

Réseaux cristallins, réseau réciproque, phonons Fonctions de Bloch ,vitesse moyenne, masse effective Densité d'états, isolants vs métaux Electrons presque libres, liaisons fortes

TRANSITIONS ELECTRONIQUES

Transition isolant métal
Influence des corrélations et du désordre
Interaction e/phonons : ondes de densité de charges
Notions de supraconductivité
Classification des solides, énergie de cohésion

Quelle est la valeur de E du dernier état occupé ?

$$2 \times \iiint \frac{d^3k}{(\frac{2\pi}{L})^3} = N = nL^3 = Z(L/a)^3$$

POUR DES ELECTRONS LIBRES, les surfaces d'énergie constante sont des sphères de rayon : $\sqrt{2mE/\hbar^2}$ donc ${\bf d}^3{\bf k}=4\pi{\bf k}^2{\bf d}{\bf k}$

$(k_{max} = k_{Fermi} =) k_F$	E _F	VF
$\left(\frac{3Z}{\pi}\right)^{1/3} \times \frac{\pi}{a}$	$\frac{17,8 \times Z^{2/3}}{a^2[\mathring{A}]}eV$	$\frac{3,57.10^8 \times Z^{1/3}}{a[A]} cm/s$

Z=2, a=3A: $E_F=3ev$ ~ énergie d'un électron dans une boite de rayon a

Pour a=3A, c/100 >> V_{équipartition} l~100A >> distance interatomique les ions n'agissent PAS comme des centres diffuseurs

Remarque : $E_F = \mu(0) \sim 30000K >> k_BT \sim 25 meV à 300K$

et différence d'énergie entre deux niveaux
$$\delta E = \frac{\hbar^2 k \delta k}{m} \sim \frac{\hbar^2}{m} \frac{\pi}{a} \frac{2\pi}{L} \sim 1 \mu eV << kT$$

Conductivité (Drude)

Surfaces de Fermi, densité d'états

Propriétés des gaz quantiques

ELECTRONS DANS POTENTIEL PERIODIQUE

Réseaux cristallins, réseau réciproque, phonons Fonctions de Bloch ,vitesse moyenne, masse effective Densité d'états, isolants vs métaux Electrons presque libres, liaisons fortes

TRANSITIONS ELECTRONIQUES

Transition isolant métal
Influence des corrélations et du désordre
Interaction e/phonons : ondes de densité de charges
Notions de supraconductivité
Classification des solides, énergie de cohésion

$$E_F \gg kT \gg \delta E$$

Seuls les états près de E_F seront «UTILES», l'ensemble des états d'énergie E_F dans l'espace des k est appelée SURFACE DE FERMI les niveaux peuvent être considérés comme CONTINUS, on peut définir une DENSITE D'ETATS : g(E)

$$dN = g(E)dE = 2 \times \left(\frac{L}{2\pi}\right)^d \times d^dk$$

	ID	2D	3D
d ^d k	2dk	2πkdk	4πk²dk
g(E)	$\frac{L}{4\pi} \left(\frac{2m}{\hbar^2}\right)^{1/2} \frac{1}{\sqrt{E}}$	$\frac{mL^2}{\pi\hbar^2}$	$\frac{L^3}{2\pi^2} \left(\frac{2m}{\hbar^2}\right)^{3/2} \sqrt{E}$

A T=0K tous les niveaux d'énergie < E_F sont occupés,

$$\bar{E} = \int_{O}^{E_F} Eg(E)dE = N\frac{3E_F}{5}[3D]$$

pour T > 0K on doit introduire le taux d'occupation moyen donné par la fonction de distribution

$$\bar{E}(T) = \int_0^\infty Eg(E)f(E,T)dE = \bar{E}(0) + \frac{\pi^2}{6}g(E_F)(k_BT)^2$$

Conductivité (Drude) Surfaces de Fermi, densité d'états

Propriétés des gaz quantiques

ELECTRONS DANS POTENTIEL PERIODIQUE

Réseaux cristallins, réseau réciproque, phonons Fonctions de Bloch ,vitesse moyenne, masse effective Densité d'états, isolants vs métaux Electrons presque libres, liaisons fortes

TRANSITIONS ELECTRONIQUES

Transition isolant métal
Influence des corrélations et du désordre
Interaction e/phonons : ondes de densité de charges
Notions de supraconductivité
Classification des solides, énergie de cohésion

$$n[3D] = \frac{N}{L^3} = \int_0^{E_F} \frac{g(E)dE}{L^3} = \frac{1}{3\pi^2} \left(\frac{2m}{\hbar^2}\right)^{3/2} E_F^{3/2} = \frac{2}{3} E_F g(E_F)$$

mais pour calculer les propriétés physiques il faut trouver $(\mathbf{n_{utile}}) = \mathbf{g}(\mathbf{E_F})\Delta \mathbf{E}$.

par exemple

chaleur spécifique : $\mathbf{C} \sim [\mathbf{g}(\mathbf{E}_F)\mathbf{k}_B\mathbf{T}].\mathbf{k}_B$ (Sommerfeld $C=[\pi^2/3][\mathbf{g}(E_F)\mathbf{k}_B\mathbf{T}].\mathbf{k}_B$)

aimantation : $\mathbf{M} \sim (\mathbf{g}(\mathbf{E}_{\mathrm{F}})\mu_{\mathrm{B}}\mathbf{H}).\mu_{\mathrm{B}}$ (Paramagnétisme de Pauli)

densité de courant : $J \sim [g(E_F).qE\delta l].qv_F$ (décalage de la $SF => f_{HE}(T,E)$)

et $\delta l = v_F \tau d'où \sigma = q^2 g(E_F) D$ avec diffusion : $D = v_F^2 \tau / 3$ (formule d'Einstein)

Les propriétés physiques sont toutes définies par $g(E_F)$ (et v_F pour les propriétés de transport) il s'agira de déterminer cette grandeur au delà du modèle des électrons libres

Conductivité (Drude) Surfaces de Fermi, densité d'états

Propriétés des gaz quantiques

ELECTRONS DANS POTENTIEL PERIODIQUE

Réseaux cristallins, réseau réciproque, phonons Fonctions de Bloch ,vitesse moyenne, masse effective Densité d'états, isolants vs métaux Electrons presque libres, liaisons fortes

TRANSITIONS ELECTRONIQUES

Transition isolant métal
Influence des corrélations et du désordre
Interaction e/phonons : ondes de densité de charges
Notions de supraconductivité
Classification des solides, énergie de cohésion

Conduction thermique (loi de Wiedemann-Franz 1853)

$$J_q = \frac{v^2 \tau C}{3} (-\nabla T) = K(-\nabla T)$$

$$L = \frac{K}{\sigma T} = \frac{v^2 \tau C}{3} \times \frac{m}{ne^2 \tau T} = \frac{3}{2} \times \frac{mv^2/2}{3/2k_B T} \times \frac{C}{3/2nk_B} \times (\frac{k_B}{e})^2$$

$$\downarrow \qquad \qquad \downarrow \qquad \qquad \downarrow$$
 théorie cinétique des gaz
$$L = \frac{3}{2} (\frac{k_B}{e})^2 = 10^{-8} W \Omega K^{-2}$$

Si le résultat est juste, la démarche en FAUSSE en effet il faut écrire :

$$L = \frac{2}{3} \times \frac{mv^2/2}{E_0} \times \frac{C}{nk_B^2T/E_0} \times (\frac{k_B}{e})^2 \longrightarrow \frac{2\alpha}{3}(\frac{k_B}{e})^2$$

ou E_0 est ici le NIVEAU DE FERMI c'est C/T est constant et non pas v^2/T !

ELECTRONS DANS POTENTIEL PERIODIQUE Réseaux cristallins, réseau réciproque, phonons

Fonctions de Bloch, vitesse moyenne, masse effective Densité d'états, isolants vs métaux Electrons presque libres, liaisons fortes

TRANSITIONS ELECTRONIQUES

Transition isolant métal Influence des corrélations et du désordre Interaction e/phonons : ondes de densité de charges Notions de supraconductivité Classification des solides, énergie de cohésion

$$H = \sum_{i=1}^{N} -\frac{\hbar^{2} \nabla_{i}^{2}}{2m} - Ze^{2} \sum_{R} \frac{1}{|r_{i} - R|}$$

$$\frac{\nabla_{i}^{2}}{m} - Ze^{2} \sum_{R} \frac{1}{|r_{i} - R|} + \frac{1}{2} \sum_{i \neq j} \frac{e^{2}}{|r_{i} - r_{j}|}$$

Energie cinétique : Electrons libres = S1 Interactions electrons-ions = S2

Interactions électron-électrons (corrélations)

électrons INDEPENDANTS

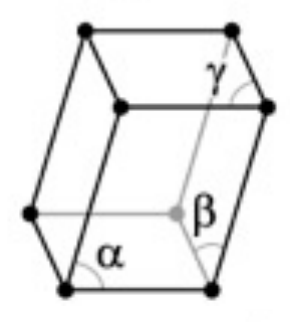
Nécessité de connaître la position exacte des ions

M2

L'ensemble des opérations de symétrie laissant invariant un réseau cristallin permet de définir 7 GROUPES PONCTUELS

- CUBIQUE: a=b=c, $\alpha=\beta=\gamma=90^{\circ}$: axes de symétrie 3 (4) et 4 (3) (+ plans miroirs)
- TETRAGONALE : $a=b\neq c$, $\alpha=\beta=\gamma=90^\circ$: 1 axe de symétrie 4 (+ plans miroirs)
- RHOMBOEDRIQUE: a=b=c, $\alpha=\beta=\gamma\neq90^{\circ}$: 3 axes de symétrie 3 (+ plans miroirs)
- HEXAGONAL : $a=b\neq c$, $\alpha=\beta=90^{\circ}$, $\gamma=120^{\circ}$: 1 axe de symétrie 6 (+ plans miroirs)
- ORTHORHOMBIQUE : $a \neq b \neq c$, $\alpha = \beta = \gamma = 90^{\circ}$: plans miroirs (3) uniquement
- MONOCLINIQUE : $a \neq b \neq c$ $\alpha = \gamma = 90^{\circ}$, $\beta \neq 90^{\circ}$: un seul plan miroir
- TRICLINIQUE: $a\neq b\neq c$, $\alpha\neq \beta\neq \gamma$: ni miroir, ni axe de rotation (point d'inversion)

$$\alpha, \beta, \gamma \neq 90^{\circ}$$



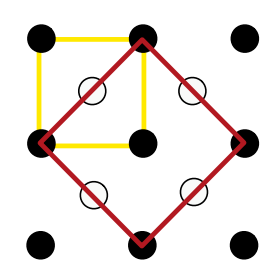
ELECTRONS DANS POTENTIEL PERIODIQUE Réseaux cristallins, réseau réciproque, phonons

Fonctions de Bloch, vitesse moyenne, masse effective Densité d'états, isolants vs métaux Electrons presque libres, liaisons fortes

TRANSITIONS ELECTRONIQUES

Transition isolant métal Influence des corrélations et du désordre Interaction e/phonons : ondes de densité de charges Notions de supraconductivité Classification des solides, énergie de cohésion

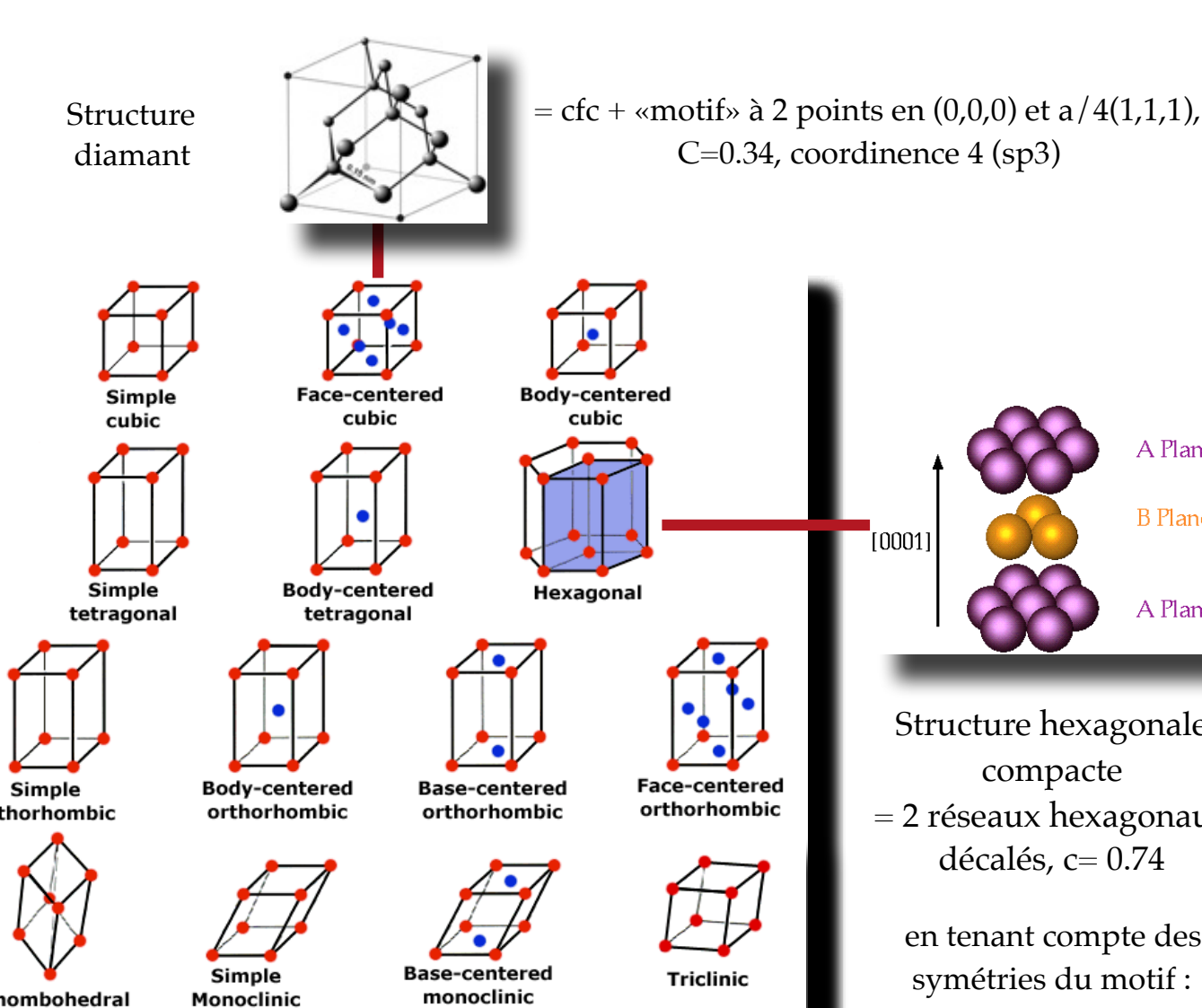
Pourquoi n'y a-t-il pas de tétragonal faces centrées?

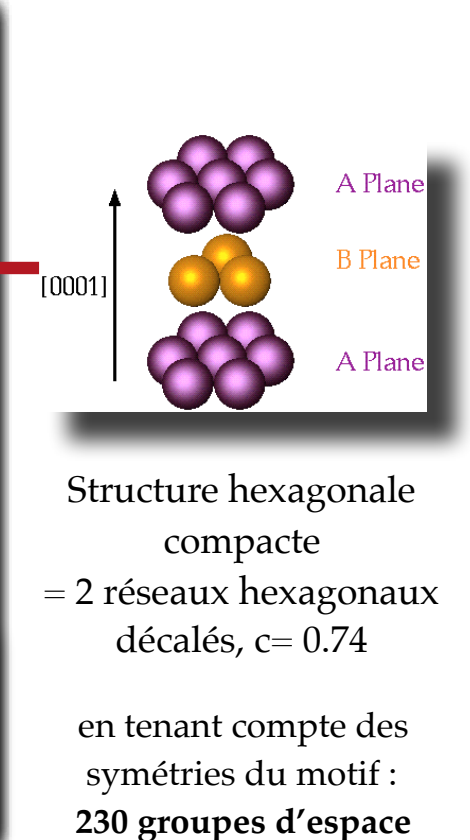


Réseau centré (vue selon l'axe c)

= Réseau faces centrées (tournée de 45°)

Simple orthorhombic Rhombohedral





TOTAL: 14 Réseaux de Bravais

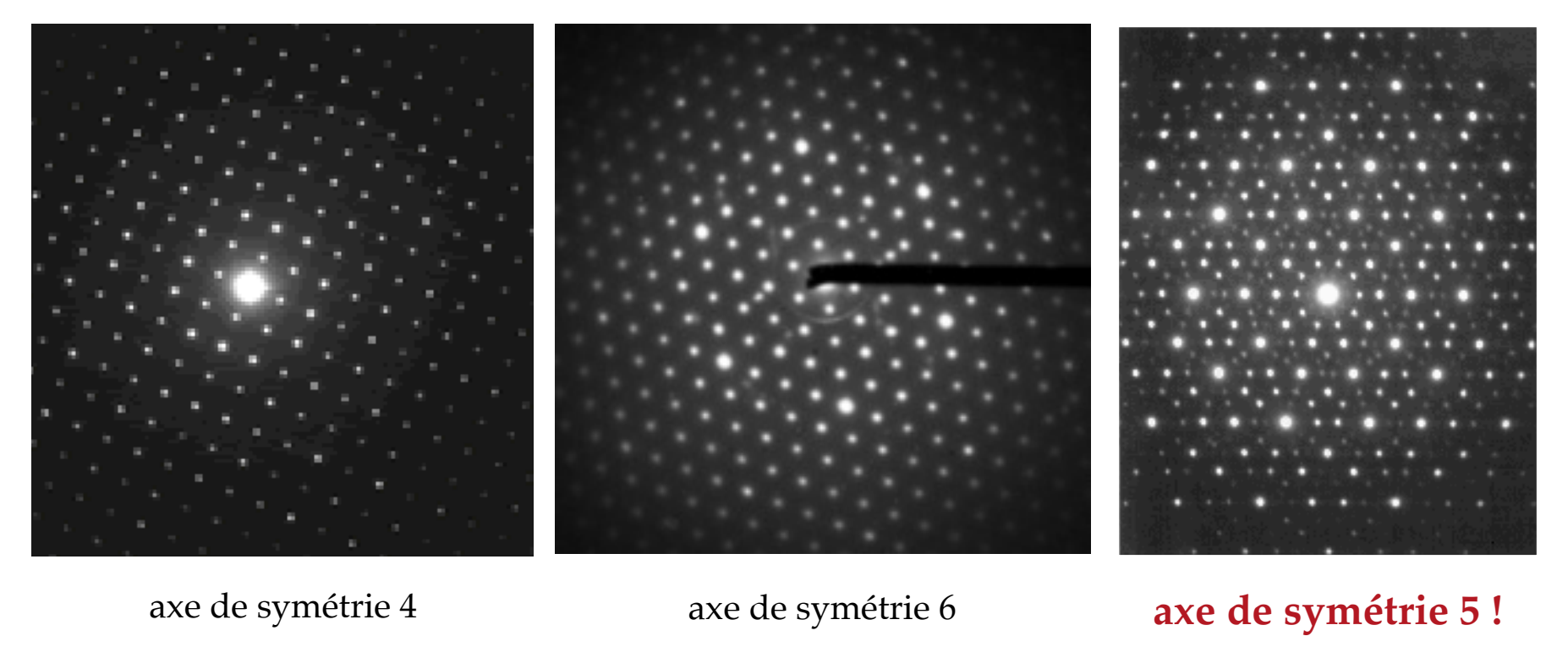
ELECTRONS DANS POTENTIEL PERIODIQUE Réseaux cristallins, réseau réciproque, phonons

Fonctions de Bloch ,vitesse moyenne, masse effective Densité d'états, isolants vs métaux Electrons presque libres, liaisons fortes

TRANSITIONS ELECTRONIQUES

Transition isolant métal
Influence des corrélations et du désordre
Interaction e/phonons : ondes de densité de charges
Notions de supraconductivité
Classification des solides, énergie de cohésion

<u>réseau cristallin</u> = répétition d'une maille élémentaire dans les trois directions de l'espace : un **cristal** est un objet périodique. était



Modification de la définition officielle d'un cristal : désormais selon l'<u>Union internationale de</u> <u>cristallographie</u>, <u>cristal</u> = solide dont le <u>spectre de diffraction</u> est essentiellement discret

ELECTRONS DANS POTENTIEL PERIODIQUE Réseaux cristallins, réseau réciproque, phonons

Fonctions de Bloch ,vitesse moyenne, masse effective Densité d'états, isolants vs métaux Electrons presque libres, liaisons fortes

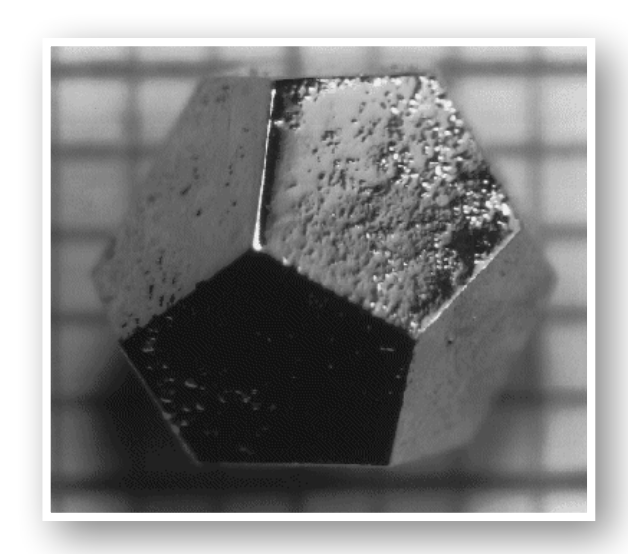
TRANSITIONS ELECTRONIQUES

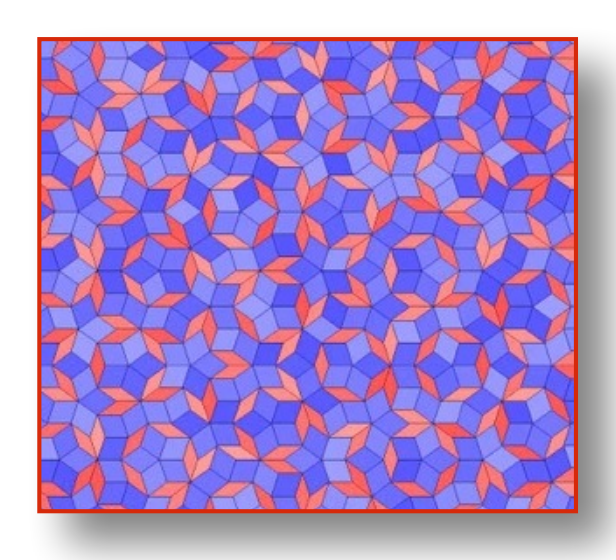
Transition isolant métal
Influence des corrélations et du désordre
Interaction e/phonons : ondes de densité de charges
Notions de supraconductivité
Classification des solides, énergie de cohésion

Avionique : recherche de nouveaux alliages légers et résistants : Al + Mn

symétrie d'ordre 5 (ou 10) INCOMPATIBLE avec une périodicité en translation ces alliages «interdits» ont été baptisés quasicristaux

symétrie «interdite» mais pouvant être obtenue sous forme macroscopique. AlCuFe, AlPdMn,.....





Pavage de Penrose

2 motifs élémentaires et non pas un seul

"anti"-métaux, extrêmement résistants, très faible adhérence,....

Cristaux liquides

Molécules de formes allongées (cholestérol,...) pouvant adopter une orientation préférentielle mais distribuées (quasi-)aléatoirement systèmes d'affichage, tissus, peintures,... propriétés mécaniques intéressantes (Kevlar)



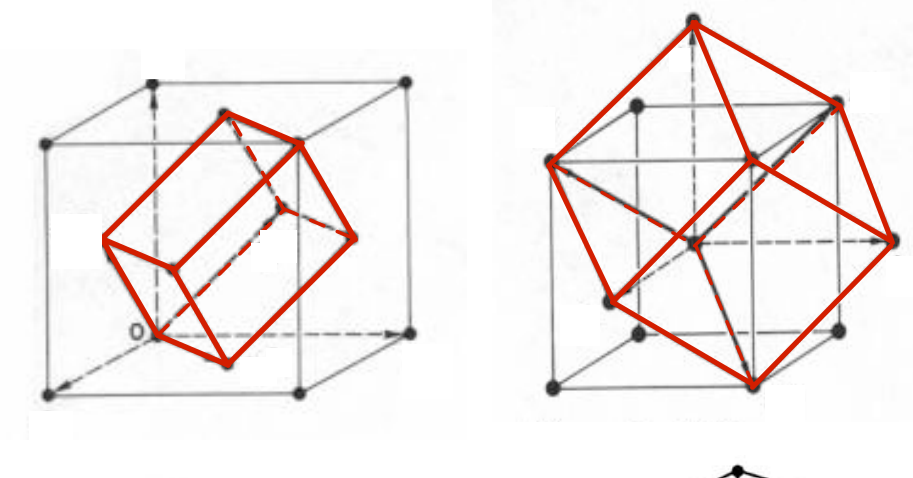
ELECTRONS DANS POTENTIEL PERIODIQUE Réseaux cristallins, réseau réciproque, phonons

Fonctions de Bloch ,vitesse moyenne, masse effective Densité d'états, isolants vs métaux Electrons presque libres, liaisons fortes

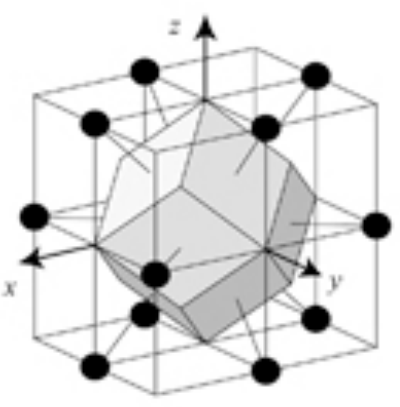
TRANSITIONS ELECTRONIQUES

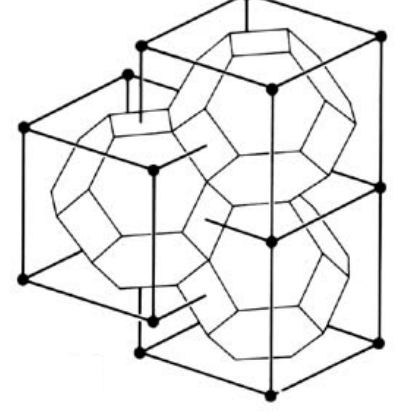
Transition isolant métal
Influence des corrélations et du désordre
Interaction e/phonons : ondes de densité de charges
Notions de supraconductivité
Classification des solides, énergie de cohésion

dans la suite on ne s'intéressera qu'aux réseaux cristallins : maille primitive = volume de l'espace qui, translaté par tous les vecteurs du RB rempli totalement l'espace sans se recouvrir ni laisser de trous, elle contient 1 point du réseau mais ce choix n'est PAS UNIQUE



Maille conventionnelle





Cellule de Wigner-Seitz

= zone de l'espace qui est la plus proche de ce point, construite à partir des plans medians de tous les voisins

ELECTRONS DANS POTENTIEL PERIODIQUE Réseaux cristallins, réseau réciproque, phonons

Fonctions de Bloch ,vitesse moyenne, masse effective Densité d'états, isolants vs métaux Electrons presque libres, liaisons fortes

TRANSITIONS ELECTRONIQUES

Transition isolant métal Influence des corrélations et du désordre Interaction e/phonons : ondes de densité de charges Notions de supraconductivité Classification des solides, énergie de cohésion

noeuds du réseau (R) = position d'équilibre MAIS les atomes peuvent s'écarter de cette position : excitations u = décalage par rapport à l'équilibre $\vec{r}(\vec{R}) = \vec{R} + \vec{u}(\vec{R})$.

des oscillations sont possibles dans le fond du puits (d'amplitude u)

on cherche des modes d'oscillations collectives : PHONONS

$$M\partial^2 u/\partial t^2 = -\partial U/\partial u$$

$$u(na) = u_0 e^{i(kna - \omega t)}$$
 (k = n. 2 π /Na)

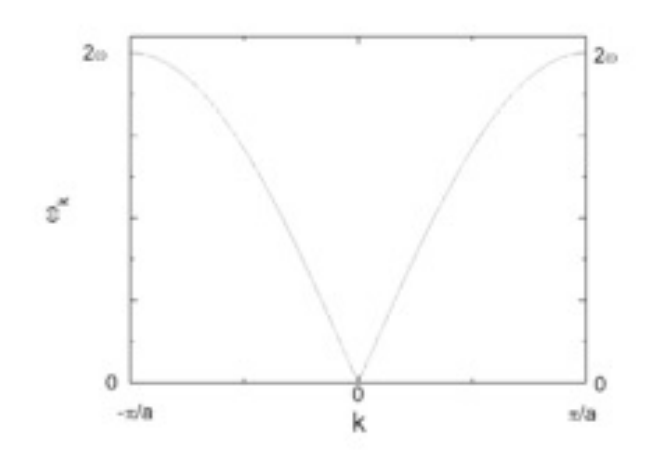
et pour des interactions harmoniques entre premiers voisins

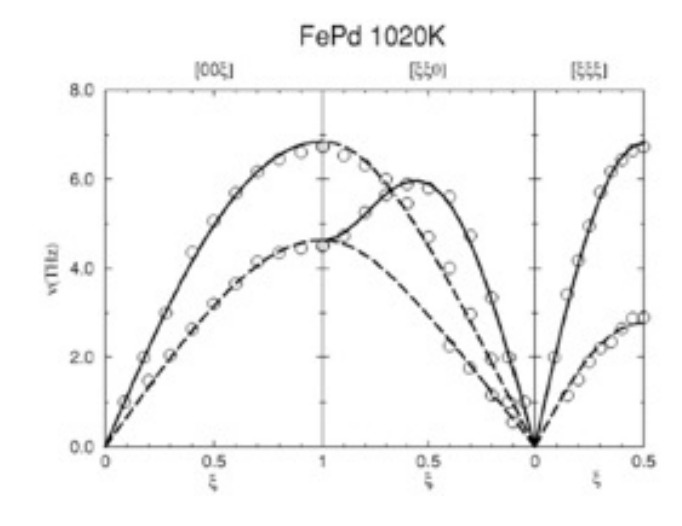
$$M\omega^{2} = 2K(1 - \frac{e^{ika} + e^{-ika}}{2}) = 2K(1 - \cos(ka)) = 4K\sin^{2}(ka/2)$$

$$\omega = 2\sqrt{\frac{K}{M}}|\sin(ka/2)|$$

$$\omega = 2\sqrt{\frac{K}{M}}|sin(ka/2)|$$

pour les faibles valeurs de
$$\omega$$
 : $\omega = a\sqrt{\frac{K}{M}}|k| = v|k|$ où v est la vitesse du son





2 branches transverses et I branche longitudinale

ELECTRONS DANS POTENTIEL PERIODIQUE Réseaux cristallins, réseau réciproque, phonons

Fonctions de Bloch ,vitesse moyenne, masse effective Densité d'états, isolants vs métaux Electrons presque libres, liaisons fortes

TRANSITIONS ELECTRONIQUES

Transition isolant métal
Influence des corrélations et du désordre
Interaction e/phonons : ondes de densité de charges
Notions de supraconductivité
Classification des solides, énergie de cohésion

Pour un système <u>diatomique</u> : 2 constantes élastiques différentes (K,G) les déplacements des atomes A (pairs) sont alors différents de ceux des atomes B (impairs)

$$U(2n(a/2)) = u_1 e^{i(k2n(a/2) - \omega t)} \neq U(2(n+1)(a/2)) = u_2 e^{i(k2(n+1)(a/2) - \omega t)}$$

on obtient 2 équations :

$$[M\omega^{2} - (K+G)]u_{1} + (K+Ge^{-ka})u_{2} = 0$$
$$(K+Ge^{ka})u_{1} + [M\omega^{2} - (K+G)]u_{2} = 0$$

dont le déterminant doit être nul

$$\omega^2 = \frac{K + G \pm \sqrt{K^2 + G^2 + 2KG\cos(ka)}}{M}$$

Optical branch $\sqrt{\frac{2(K+G)}{M}} \sqrt{\frac{2K}{M}}$ Acoustical branch $-\pi/a$ 0 π/a

pour les faibles valeurs de
$$\omega$$
 : $\omega = \sqrt{\frac{KG}{2M(K+G)}}ka$

Remarque : on aurait également pu prendre des atomes de masses différentes (M1, M2) pour une seule valeur de K

$$\frac{u_1}{u_2} = \pm \frac{K + Ge^{ika}}{|K + Ge^{ika}|}$$

Si K
$$\Rightarrow$$
 G (ou k \sim 0)

Sur la branche optique u_1 =- u_2 : les atomes vibrent en opposition de phase, la branche devient plate ($\omega=\sqrt{K/2M}$)

: «molécules» (quasi) indépendantes (légèrement couplées car G/K ≠ 0)

Sur la branche acoustique, les atomes vibrent en phase $(u_1 \sim u_2)$: «molécule de masse 2M» couplée par un ressort de faible raideur

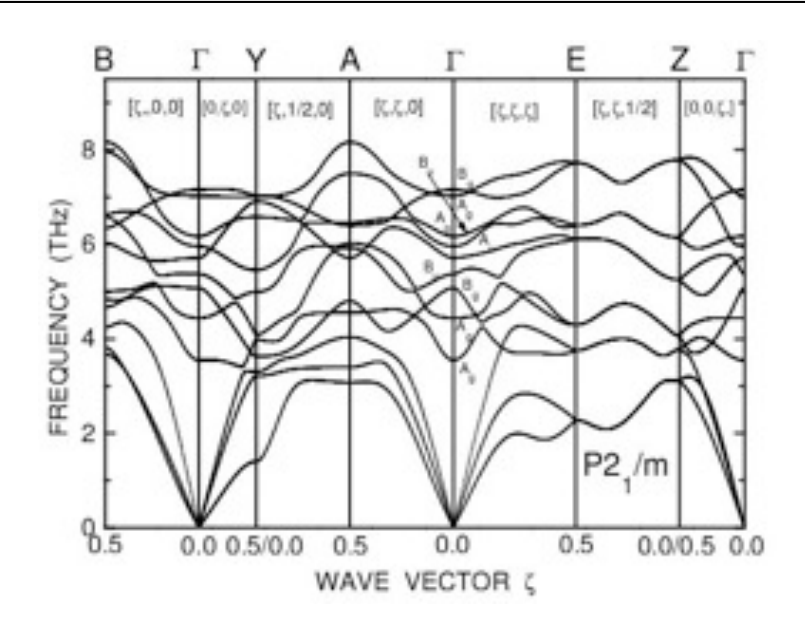
(G,
$$\omega = \sqrt{K/2G}sin(ka/2)$$
)

ELECTRONS DANS POTENTIEL PERIODIQUE Réseaux cristallins, réseau réciproque, phonons

Fonctions de Bloch ,vitesse moyenne, masse effective Densité d'états, isolants vs métaux Electrons presque libres, liaisons fortes

TRANSITIONS ELECTRONIQUES

Transition isolant métal
Influence des corrélations et du désordre
Interaction e/phonons : ondes de densité de charges
Notions de supraconductivité
Classification des solides, énergie de cohésion



et pour un motif plus complexe :
3 modes (branches) **acoustiques** + 3p branches

<u>optiques</u>

Pour l'instant, on n'a considéré que les interactions entre premiers voisins : pour une interaction à tous les voisins :

$$\omega^2 = \sum_{m>0} \frac{4K_m}{M} \sin^2(\frac{kma}{2})$$

si
$$\sum K_m m^2$$
 converge, on conserve les branches acoustiques linéaires (k->0) $\omega = a \sqrt{\sum_{m>0} \frac{K_m m^2}{M}} k$

mais si $\sum K_m m^2$ ne converge pas (=interaction A LONGUE PORTEE) la situation est plus compliquée, par exemple K_m = K₀/m^p (p<3) : $\omega \propto k^{(p-1)/2}$

et souvent (voir classification des solides) interaction = électrostatique = longue distance (avec p=1)

ELECTRONS DANS POTENTIEL PERIODIQUE Réseaux cristallins, réseau réciproque, phonons

Fonctions de Bloch ,vitesse moyenne, masse effective Densité d'états, isolants vs métaux Electrons presque libres, liaisons fortes

TRANSITIONS ELECTRONIQUES

Transition isolant métal
Influence des corrélations et du désordre
Interaction e/phonons : ondes de densité de charges
Notions de supraconductivité
Classification des solides, énergie de cohésion

si l'interaction électrostatique était à longue portée, il n'y aurait pas de mode acoustiques

$$ec{rot} ec{B} = \mu_0 ec{J} + \mu_0 \epsilon_0 rac{\partial ec{E}}{\partial t}$$
 $ec{rot} ec{E} = -rac{\partial ec{B}}{\partial t}$ $ec{J} = \sigma ec{E}$ dans les métaux

$$\epsilon_r = 1 - \omega_p^2 / \omega^2$$

$$-\Delta \vec{E} = \frac{\omega^2}{c^2} (1 + \frac{i\sigma}{\epsilon_0 \omega}) \vec{E}$$

la propagation d'une onde électromagnétique n'est possible que si $\omega>\omega_p \ {\rm avec} \ \omega_p^2=\frac{ne^2}{m\epsilon_0}$

de même il peut exister pour les ions un mode d'oscillation plasma

avec:
$$\Omega_p^2 = \frac{n(Ze)^2}{M\epsilon_0}$$
 = constante (mode optique)

mais l'écrantage (ici par les électrons de conduction) va jouer un rôle fondamental

$$\omega^2 = \frac{\Omega_p^2}{\epsilon(k)} \text{ avec } \epsilon(k) = 1 + k_0^2/k^2 \ [V \propto (1/r)e^{-k_0 r}] \quad \text{donc pour } k \to 0, \ \omega(k) \approx (\Omega_p/k_0)k$$

et on peut montrer que pour les électrons (presque) libres

$$v = \frac{\Omega_p}{k_0} \sim \sqrt{\frac{Zm}{3M}} v_F \sim v_F / 100$$

ELECTRONS DANS POTENTIEL PERIODIQUE Réseaux cristallins, réseau réciproque, phonons

Fonctions de Bloch ,vitesse moyenne, masse effective Densité d'états, isolants vs métaux Electrons presque libres, liaisons fortes

TRANSITIONS ELECTRONIQUES

Transition isolant métal Influence des corrélations et du désordre Interaction e/phonons : ondes de densité de charges Notions de supraconductivité Classification des solides, énergie de cohésion

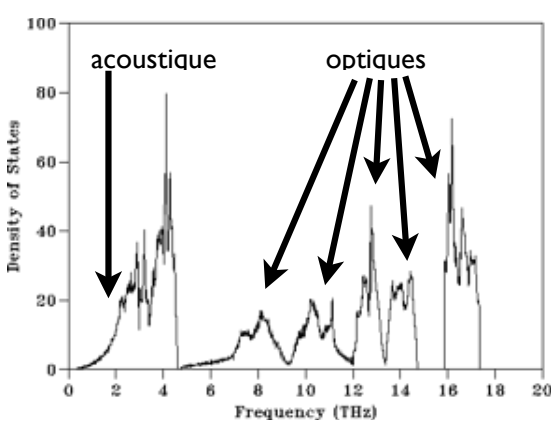
Comme pour les électrons on peut définir une densité d'états de modes :

modèle de DEBYE :
$$\omega$$
=vk et $g(\omega)=\frac{3}{2\pi^2}\frac{\omega^2}{v^3}$ pour ω < $\omega_{\rm D}$ (0 sinon)

modèle d'EINSTEIN : $\omega = \omega_E$ et $g(\omega) = \rho \delta(\omega - \omega_E)$

La théorie classique donnerait C = 3Nk_B en désaccord (comme pour les électrons) avec l'expérience un calcul QUANTIQUE est nécessaire = oscillateur HARMONIQUE

$$\sum_{s} \frac{d^3k}{(2\pi)^3} = g(\omega)d\omega$$



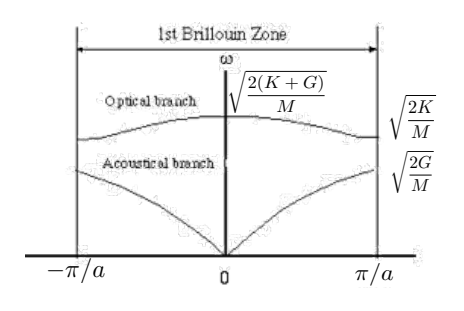
$$E = \sum_{k,s} (n_{k,s} + 1/2)\hbar\omega_s(k)$$
 (s = polarisation)

 $E = \sum_{k,s} (n_{k,s} + 1/2) \hbar \omega_s(k) \qquad \text{(s = polarisation)}$ $\text{n}_{k,s} = \text{fonction de distribution de BOSE-EINSTEIN}: \quad n_{k,s} = \frac{1}{e^{\beta \hbar \omega_s(k)} - 1} \quad c = \frac{C}{V} = \frac{1}{V} \sum_{k,s} \frac{\partial}{\partial T} (\frac{1}{e^{\beta \hbar \omega_s(k)} - 1}) \hbar \omega_s(k)$

à basse température

$$\sum_{k} = \int \int \int \frac{d^3k}{(2\pi)^3}$$

et on remplace



par π/a

$$\omega = vk$$

ELECTRONS DANS POTENTIEL PERIODIQUE Réseaux cristallins, réseau réciproque, phonons

Fonctions de Bloch ,vitesse moyenne, masse effective Densité d'états, isolants vs métaux Electrons presque libres, liaisons fortes

TRANSITIONS ELECTRONIQUES

Transition isolant métal
Influence des corrélations et du désordre
Interaction e/phonons : ondes de densité de charges
Notions de supraconductivité
Classification des solides, énergie de cohésion

$$c = \frac{\partial}{\partial T} [k_B T \times (\frac{k_B T}{\hbar v})^3 \times \frac{3}{2\pi^2} \times \int_0^\infty \frac{\mathring{a} \, 3D \, \text{sinon} \, x^d}{e^x - 1}] \\ = \frac{2\pi^2}{5} k_B (\frac{k_B T}{\hbar v})^3 \\ \frac{1}{v^d} = \frac{1}{d} \sum \frac{1}{v^d}$$
 modèle de DEBYE

totalement équivalent au rayonnement du corps noir

On introduit :
$$\frac{4}{3}\pi k_D^3 = \frac{(2\pi)^3}{V}N$$

$$\omega_D = vk_D$$

$$k_B\Theta_D = \hbar\omega_D$$

$$c = \frac{12\pi^4}{5}nk_B(\frac{T}{\Theta_D})^3 = 234(\frac{T}{\Theta_D})^3nk_B$$
 si
$$\frac{\hbar\omega}{kT} <<1, \ \frac{1}{e^x-1} \sim \frac{1}{x} \text{ et } c \to 3\frac{N}{V}k_B : \text{DULONG-PETIT}$$

ATTENTION : contrairement aux électrons pour lesquels $T >> T_F$ ($\sim 10^4$ K), $\Theta_D \sim qq 100$ K : ~ 100 K : K,Bi,Pb jusqu'à 1860K : diamant (Al : 394K)

l'approximation c $\sim T^3$ n'est donc valable qu'à «basses» températures et généralement les données expérimentales doivent être décrites par c = $\beta T^3 + \delta T^5 + ...$ (+ γT pour les électrons)

et aux températures intermédiaires il faut également prendre en compte la contribution des branches optiques $\omega = \omega_E$ (E pour Einstein)

$$\rightarrow c^{opt} = \rho n k_B \frac{(\hbar \omega_E/k_B T)^2 e^{\hbar \omega_E/k_B T}}{(e^{\hbar \omega_E/k_B T} - 1)^2} \qquad \text{ρ = nombre de modes optiques}$$

ELECTRONS DANS POTENTIEL PERIODIQUE

Réseaux cristallins, réseau réciproque, phonons

Fonctions de Bloch ,vitesse moyenne, masse effective

Densité d'états, isolants vs métaux Electrons presque libres, liaisons fortes

TRANSITIONS ELECTRONIQUES

Transition isolant métal Influence des corrélations et du désordre Interaction e/phonons: ondes de densité de charges Notions de supraconductivité Classification des solides, énergie de cohésion

Soit l'opérateur TRANSLATION / $T_Rf(r)=f(r+R)$ où R est un vecteur du RB

$$T_R(H\psi) = H(r+R)\psi(r+R) = H(r)\psi(r+R) = H(T_R\psi)$$

 $T_R.H = H.T_R$, T_R et H ont un même jeu de vecteurs propres :

$$T_R \psi = C(R) \psi$$
 et $H \psi = E \psi$

$$T_R T_{R'} \psi = T_R \psi(r + R') = \psi(r + R' + R) = T_{R+R'} \psi$$

pour
$$\vec{R} = n_1 \vec{a_1} + n_2 \vec{a_2} + n_3$$

$$\vec{R} = n_1 \vec{a_1} + n_2 \vec{a_2} + n_3 \vec{a_3} \qquad C(\vec{R}) = C(\vec{a_1})^{n_1} C(\vec{a_2})^{n_2} C(\vec{a_3})^{n_3}$$

 $C(\vec{a_i})$ est un complexe que l'on peut écrire sous la forme $e^{2\pi i x_i}$

en écrivant
$$|\vec{k}=x_1\vec{b_1}+x_2\vec{b_2}+x_3\vec{b_3}|$$
 on a donc $C(\vec{R})=e^{i\vec{k}\vec{R}}$

où
$$\vec{a_i}\vec{b_j} = 2\pi\delta_{ij}$$

 $\vec{a_i}\vec{b_j} = 2\pi\delta_{ij}$ les vecteurs $\vec{b_i}$ définissent le **RESEAU RECIPROQUE**

$$\vec{b_1} = 2\pi \frac{\vec{a_2} \wedge \vec{a_3}}{\vec{a_1}.(\vec{a_2} \wedge \vec{a_3})}$$
 car b_1 est perpendiculaire à a_2 et a_3 car $a_1b_1 = 2\pi$

ELECTRONS DANS POTENTIEL PERIODIQUE

Réseaux cristallins, réseau réciproque, phonons

Fonctions de Bloch ,vitesse moyenne, masse effective

Densité d'états, isolants vs métaux Electrons presque libres, liaisons fortes

TRANSITIONS ELECTRONIQUES

Transition isolant métal
Influence des corrélations et du désordre
Interaction e/phonons : ondes de densité de charges
Notions de supraconductivité
Classification des solides, énergie de cohésion

$$T_R \psi = \psi(r+R) = c(R)\psi = e^{i\vec{k}\vec{R}}\psi(r)$$
 $\rightarrow \psi$ peut se mettre sous la forme

$$\psi(r) = e^{i\vec{k}\vec{r}}u_{\vec{k}}(r)$$

avec
$$u_{\vec{k}}(r+R) = u_{\vec{k}}(r)$$

THEOREME DE BLOCH

En l'absence de potentiel U (= interaction e/ions) : $u_k=1$ et $E=\frac{\hbar^2 k^2}{2m}$ MAIS SI $U\neq 0=>E\neq \frac{\hbar k^2}{2m}$

et
$$v \neq \frac{\hbar k}{m}$$

en effet $\hbar\vec{k}$ n'est PAS la quantité de mouvement car $\,\psi$ n'est pas un vecteur propre de l'opérateur $\hbar\nabla/i$

mais appelé moment cristallin

toutefois k obéit aux même règles de quantification que le vecteur d'onde des électrons libres : k_i = $n2\pi/L_i$ (CLP)

k est *simplement* un vecteur du **RESEAU RECIPROQUE**

Le «but du jeu» sera in fine de trouver la nouvelle relation E(k)

ELECTRONS DANS POTENTIEL PERIODIQUE

Réseaux cristallins, réseau réciproque, phonons

Fonctions de Bloch ,vitesse moyenne, masse effective

Densité d'états, isolants vs métaux Electrons presque libres, liaisons fortes

TRANSITIONS ELECTRONIQUES

Transition isolant métal
Influence des corrélations et du désordre
Interaction e/phonons : ondes de densité de charges
Notions de supraconductivité
Classification des solides, énergie de cohésion

En présence de U l'équation de Schrödinger $H\Psi = E\Psi$ s'écrit :

$$-\frac{\hbar^2}{2m}\frac{\partial^2}{\partial x^2}(e^{ikx}u_k(x)) + Uu_k(x)e^{ikx} = \left[\frac{\hbar^2}{2m}(\frac{\partial}{i\partial x} + k)^2u_k(x) + Uu_k(x)\right]e^{ikx} = Eu_k(x)e^{ikx}$$

DL 1er ordre :
$$E(k+q)=E(k)+\frac{\partial E}{\partial k}q+\dots$$

$$H(k+q)=H(k)+\frac{\hbar^2}{m}(\nabla/i+k)q+\dots$$

par «identification» (voir théorie perturbation): $\frac{\partial E}{\partial k} = \int u_k^* \frac{\hbar^2}{m} (\nabla/i + k) u_k dr = \hbar \int \Psi^*(\frac{\hbar}{im}) \nabla \Psi dr$

malgré la présence du potentiel U (interaction e/ions) la VITESSE MOYENNE peut être NON NULLE

$$v=rac{\partial E}{\hbar\partial k}$$
 l'électron peut se déplacer dans le réseau sans diminution de sa vitesse : la résistance ne provient PAS des «collisions» avec les ions

De même on peut définir une masse effective : $\left[M^{-1}\right] = \frac{1}{\hbar^2} \left[\frac{\partial^2 E}{\partial k_i \partial k_j}\right]$ et la formule de Drude peut se généraliser en : $\left[\sigma\right] = e^2 \tau \int \left[M^{-1}\right] f(E) g(E) dE$

ELECTRONS DANS POTENTIEL PERIODIQUE

Réseaux cristallins, réseau réciproque, phonons

Fonctions de Bloch ,vitesse moyenne, masse effective

Densité d'états, isolants vs métaux Electrons presque libres, liaisons fortes

TRANSITIONS ELECTRONIQUES

Transition isolant métal
Influence des corrélations et du désordre
Interaction e/phonons : ondes de densité de charges
Notions de supraconductivité
Classification des solides, énergie de cohésion

On appelle 1ere ZONE de BRILLOUIN

la cellule de Wigner-Seitz du réseau réciproque

Remarque : k peut toujours être choisi dans la première zone de Brillouin (ou toute autre maille primitive du RR) car sinon il suffit de choisir

$$\vec{k'} = \vec{k} + \vec{K}$$
 et $e^{i\vec{K}\vec{R}} = 1$

mais il existe alors PLUSIEURS SOLUTIONS à l'équation de Schrödinger indexée par la lettre «n»

On appelle BANDE chacune des relations $E_n(k)$

ELECTRONS DANS POTENTIEL PERIODIQUE

Réseaux cristallins, réseau réciproque, phonons

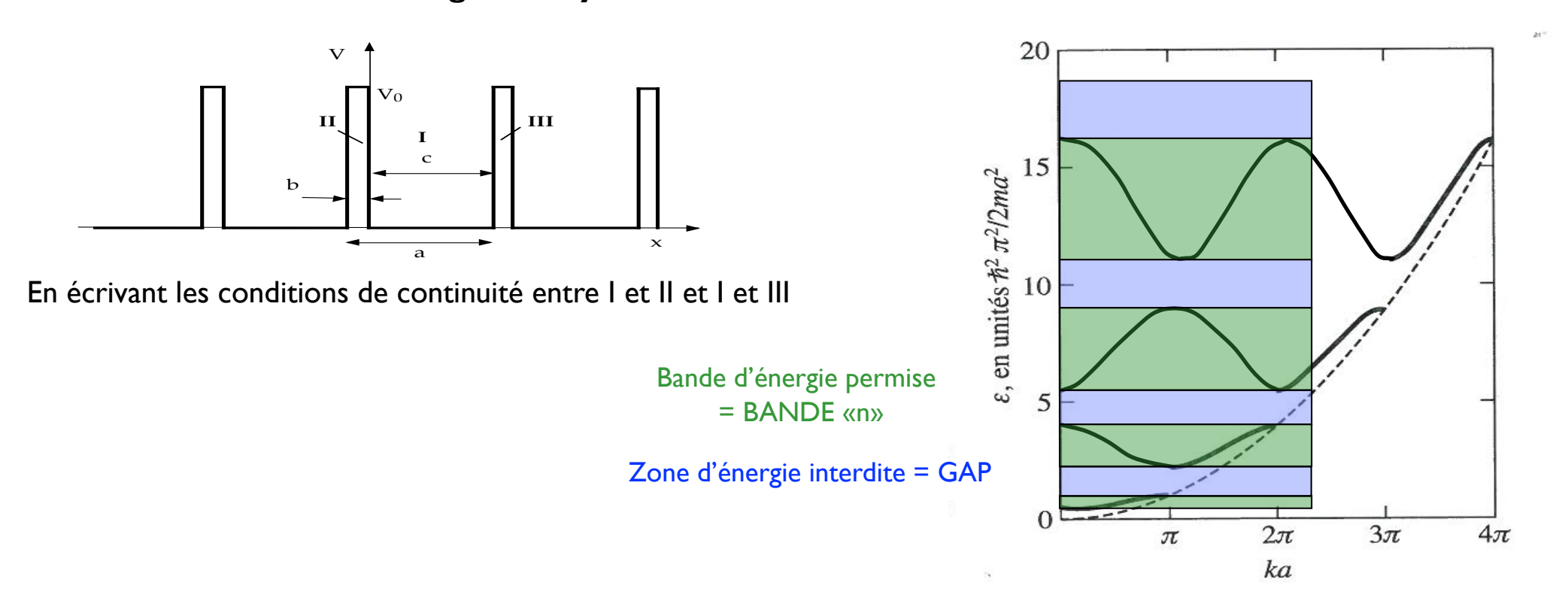
Fonctions de Bloch ,vitesse moyenne, masse effective

Densité d'états, isolants vs métaux Electrons presque libres, liaisons fortes

TRANSITIONS ELECTRONIQUES

Transition isolant métal
Influence des corrélations et du désordre
Interaction e/phonons : ondes de densité de charges
Notions de supraconductivité
Classification des solides, énergie de cohésion

Modèle de Kronig-Penney



lorsque P (hauteur de la barrière) $\rightarrow \infty$ les seules valeurs de Ka permises deviennent n π soit

$$E=n^2rac{\hbar^2\pi^2}{2ma^2}~$$
 électrons dans une boîte de taille a

ELECTRONS DANS POTENTIEL PERIODIQUE

Réseaux cristallins, réseau réciproque, phonons
Fonctions de Bloch ,vitesse moyenne, masse effective

Ponsité d'états isolants va métaux

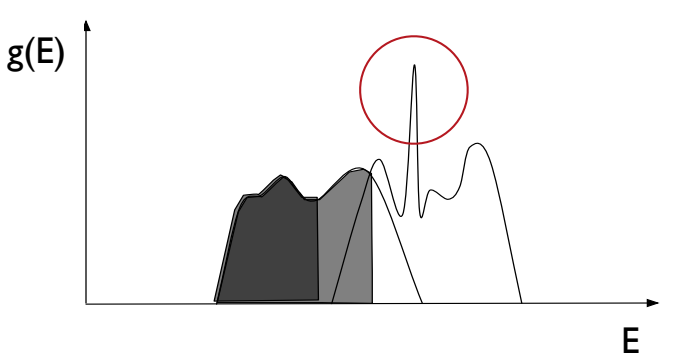
Densité d'états, isolants vs métaux

Electrons presque libres, liaisons fortes

TRANSITIONS ELECTRONIQUES

Transition isolant métal
Influence des corrélations et du désordre
Interaction e/phonons : ondes de densité de charges
Notions de supraconductivité
Classification des solides, énergie de cohésion

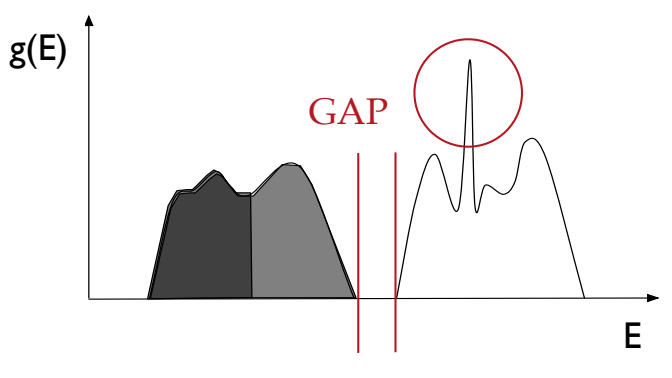
A chacune de ces bandes est associée une densité d'état g_n(E)



Ces bandes peuvent se superposer

Pour certaines valeurs de E la densité d'états peut présenter un pic (singularité de Van Hove) ces pics sont associés aux valeurs de E pour lesquelles la vitesse s'annule, en effet on a toujours

$$g(E)dE = 2\frac{d^3k}{(2\pi/L)^3} = 2\frac{dS_kdk}{(2\pi/L)^3}$$
 donc si $\partial E/\partial k = 0$ alors $g(E) \to \infty$



ou non, il existe alors des GAPS = gamme d'énergie pour lesquelles g(E)=0

Chaque bande peut contenir 2N électrons

(N = nombre d'atomes)

Si le système est monovalent (ou plus généralement pour un nombre impair d'électrons) : la bande est à moitié pleine, la densité d'états à E_F est non nulle donc le système est métallique

Mais si le système est divalent (ou plus généralement pour un nombre pair d'électrons) : la densité d'états à E_F peut rester non nulle si les bandes se recouvrent = système métallique

ou au contraire s'annuler si les bandes sont disjointes = isolant toutes les bandes sont soit totalement pleines ou totalement vides

ELECTRONS DANS POTENTIEL PERIODIQUE

Réseaux cristallins, réseau réciproque, phonons Fonctions de Bloch ,vitesse moyenne, masse effective Densité d'états, isolants vs métaux

Electrons presque libres, liaisons fortes

TRANSITIONS ELECTRONIQUES

Transition isolant métal
Influence des corrélations et du désordre
Interaction e/phonons : ondes de densité de charges
Notions de supraconductivité
Classification des solides, énergie de cohésion

Cas particulier I : électrons presque libres

Ce modèle consiste à supposer que le potentiel crée par les ions est faible. Bien qu'à priori irréaliste ce modèle s'avère être très performant pour décrire les systèmes des colonnes I,II,III et IV (couches s et p mais pas d). En fait le principe d'exclusion oblige les électrons de ces couches «lointaines» à «voyager» loin des ions et le potentiel des ions est *écranté* par l'ensemble des autres électrons

$$\Psi(r) = \sum_q C_q e^{iqr} \quad \text{(combinaison linéaire d'ondes planes)} \qquad U(r) = \sum_K U_K e^{iKr} \quad \text{(U est une fonction périodique)}$$
 Eq. Schrödinger $\rightarrow \qquad \sum_q e^{iqr} ((\hbar^2 q^2/2m - E)C_q + \sum_K U_K C_{q-K}) = 0$

k = q + K est un vecteur de la 1^{ere} zone de Brillouin et K un vecteur du RR (cf Théorème de Bloch)

$$(\hbar^2(k-K)^2/2m-E)C_{k-K} + \sum_{K'} U_{K'-K}C_{k-K'} = 0$$
 (I)

On suppose que $E \sim E_0(k - K_1)$ et $|E - E_0(k - K)| >> U$ pour $K \neq K_1$ alors: $\psi \sim e^{i(k - K_1)r}$

On peut ne conserver que 1er terme (K'=K1) dans la somme (I) $C_{k-K'} \sim 0 \; {
m pour} \; K'
eq K_1$

$$(E - E_0(k - K))C_{k-K} = U_{K_1 - K}C_{k-K_1} + \dots$$
 Soit $C_{k-K} \sim \frac{U_{K_1 - K}}{E_0(k - K_1) - E_0(k - K)}C_{k-K_1}$

ELECTRONS DANS POTENTIEL PERIODIQUE

Réseaux cristallins, réseau réciproque, phonons Fonctions de Bloch ,vitesse moyenne, masse effective Densité d'états, isolants vs métaux

Electrons presque libres, liaisons fortes

TRANSITIONS ELECTRONIQUES

Transition isolant métal
Influence des corrélations et du désordre
Interaction e/phonons : ondes de densité de charges
Notions de supraconductivité
Classification des solides, énergie de cohésion

En remplaçant dans (1) pour K=K₁, on a :
$$E = E_0(k - K_1) + \sum_K \frac{|U_{K-K_1}|^2}{E_0(k - K_1) - E_0(k - K)}$$

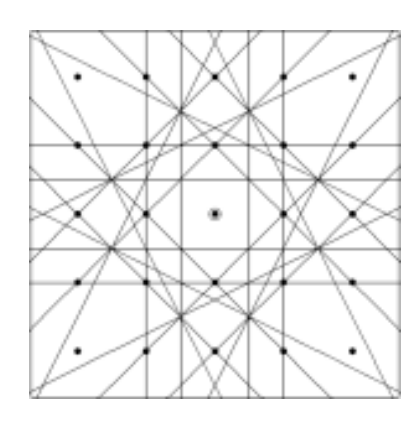
Ce résultat n'est plus valable s'il existe plusieurs valeurs de K correspondant à la même valeur de E₀ (états dégénérés)

$$E\sim E_0(k-K_1)\sim E_0(k-K_2)$$
 On pose K = K₂ - K₁, q = k - K₁ (centre en K₁) $|k-K_1|\sim |k-K_2|\Leftrightarrow |q|\sim |q-K|$

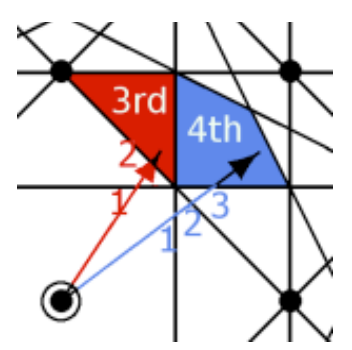
q se situe sur un plan médian entre O et K (plan de Bragg, k sur le plan médian entre K₁ et K₂)

On trace l'ensemble des plans de Bragg: Ces plans permettent de définir des ZONES DE BRILLOUIN

On se situe dans la Nieme zone de Brillouin lorsque l'on coupe N-1 plans de Bragg



Chaque zone de Brillouin contient exactement 2N électrons, elles ont donc toutes la même surface (on peut «replier» toute ZB sur la 1^{ere} ZB)



exemple $4^{\rm eme}$ Zone de Brillouin

 $= 1^{ere}$ Zone de Brillouin $= 2^{eme}$ ZB $= 3^{eme}$ ZB

ELECTRONS DANS POTENTIEL PERIODIQUE

Réseaux cristallins, réseau réciproque, phonons Fonctions de Bloch ,vitesse moyenne, masse effective Densité d'états, isolants vs métaux

Electrons presque libres, liaisons fortes

TRANSITIONS ELECTRONIQUES

Transition isolant métal Influence des corrélations et du désordre Interaction e/phonons : ondes de densité de charges Notions de supraconductivité Classification des solides, énergie de cohésion

Les bords de ZB sont les points du réseau réciproque pour lesquels l'interaction électron-réseau est importante : i.e. les points pour lesquels le modèle des électrons libres n'est plus applicable

On doit cette fois conserver que 2 termes ($K'=K_1$ et $K'=K_2$) dans la somme (I)

$$(E - E_0(k - K))C_{k-K} = U_{K_1 - K}C_{k-K_1} + U_{K_2 - K}C_{k-K_2} + \dots$$

On peut montrer que dans ce cas E est donnée par
$$\begin{vmatrix} E-E_0(q) & -U_K \\ -U_K^* & E-E_0(q-K) \end{vmatrix} = 0$$

soit
$$E = \frac{1}{2}(E_0(q) + E_0(q - K)) \pm \sqrt{(\frac{E_0(q) - E_0(q - K)}{2})^2 + |U_K|^2}$$

ELECTRONS DANS POTENTIEL PERIODIQUE

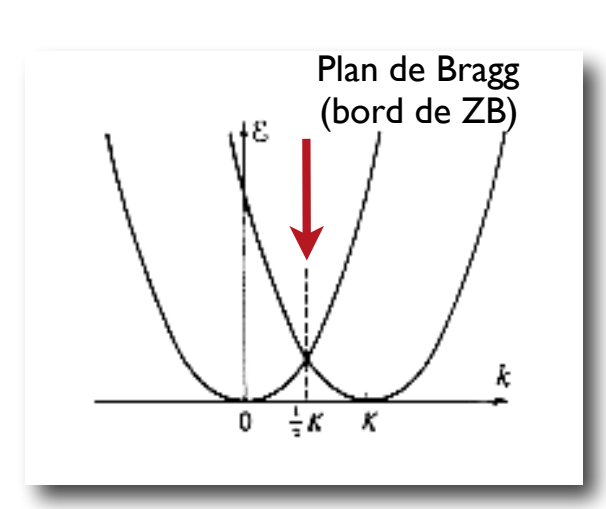
Réseaux cristallins, réseau réciproque, phonons Fonctions de Bloch ,vitesse moyenne, masse effective Densité d'états, isolants vs métaux

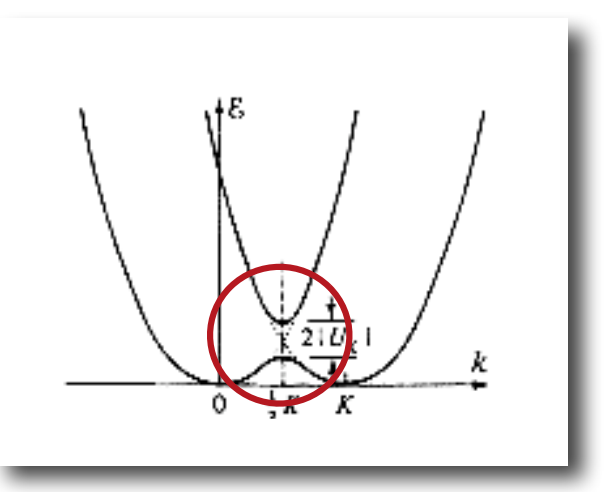
Electrons presque libres, liaisons fortes

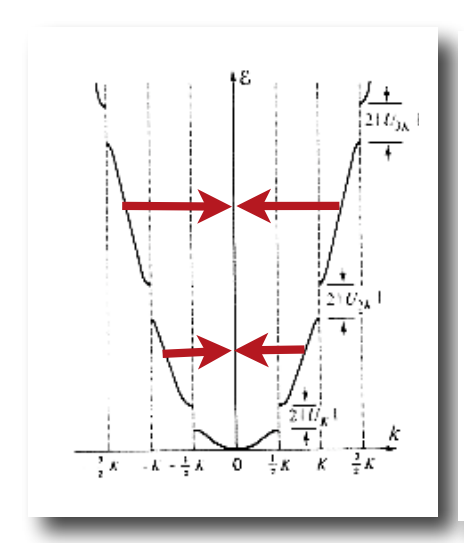
TRANSITIONS ELECTRONIQUES

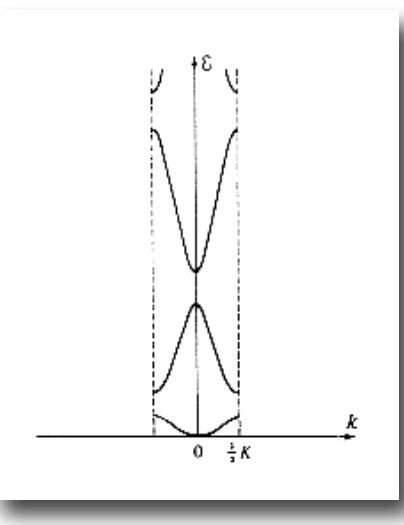
Transition isolant métal Influence des corrélations et du désordre Interaction e/phonons : ondes de densité de charges Notions de supraconductivité Classification des solides, énergie de cohésion

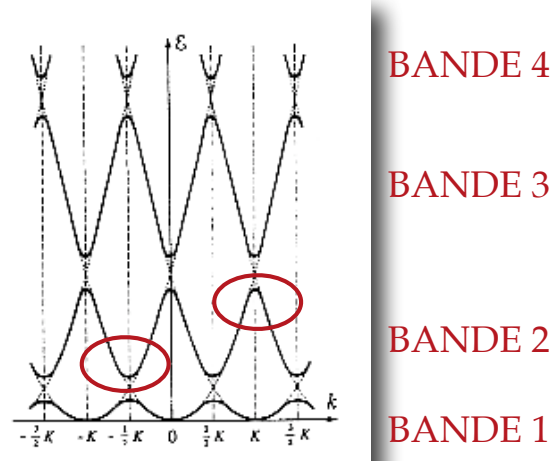
Ouverture d'un gap dans la relation de dispersion pour q appartenant à un plan de Bragg











BANDE 3

BANDE 2

BANDE 1

idem pour tous bords de zone

k=k+K: première ZB

duplication possible aux autres ZB

On distingue alors des *électrons* et des *trous* en fonction de la courbure locale de la relation E(k) :

électrons = parabole "vers le haut" : m*>0

29

trous = parabole "vers le bas" : m* <0

ELECTRONS DANS POTENTIEL PERIODIQUE

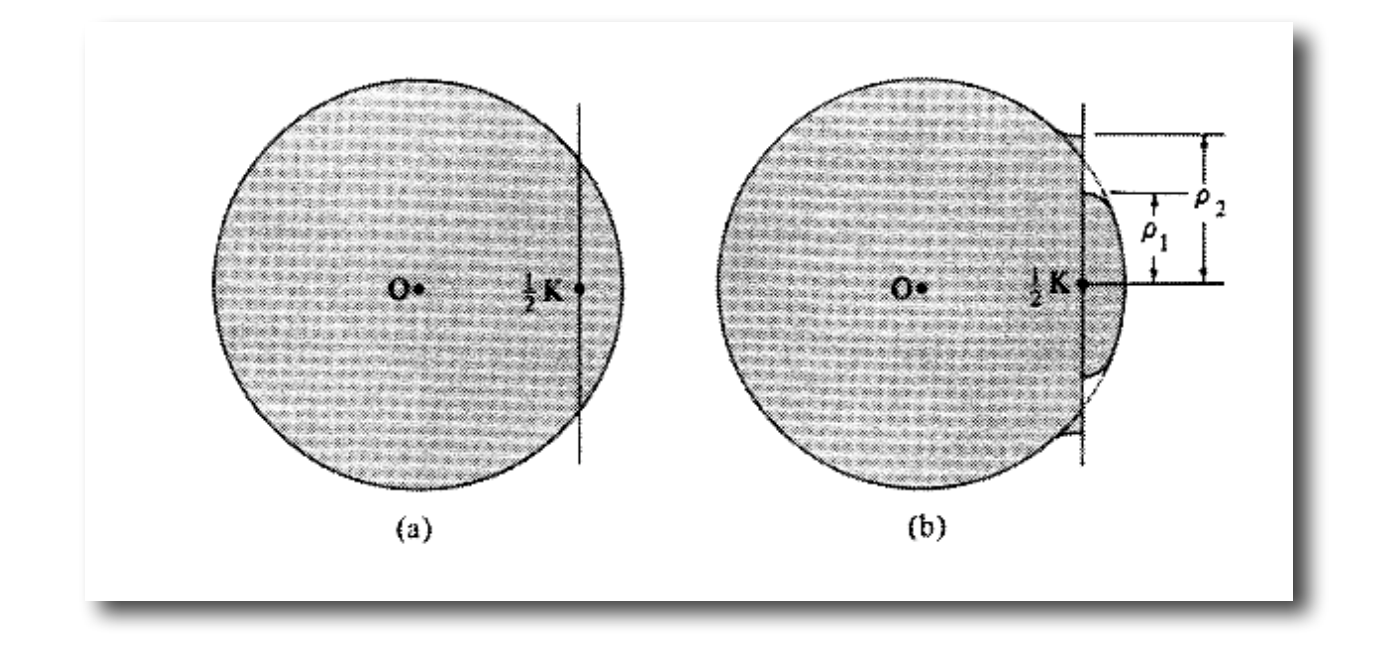
Réseaux cristallins, réseau réciproque, phonons Fonctions de Bloch ,vitesse moyenne, masse effective Densité d'états, isolants vs métaux

Electrons presque libres, liaisons fortes

TRANSITIONS ELECTRONIQUES

Transition isolant métal
Influence des corrélations et du désordre
Interaction e/phonons : ondes de densité de charges
Notions de supraconductivité
Classification des solides, énergie de cohésion

Remarque : modification de la surface de Fermi



A 1D les différentes bandes se remplissent dans l'ordre, si la valence est <u>impaire</u> la dernière bande est à demi-pleine et le système est <u>métallique</u> et si n est <u>paire</u> toutes les bandes sont pleines et le système est <u>isolant</u>

La situation est plus complexe pour d>1 car ce remplissage ne se fait plus «dans l'ordre des bandes» mais en E croissant

ELECTRONS DANS POTENTIEL PERIODIQUE

Réseaux cristallins, réseau réciproque, phonons Fonctions de Bloch ,vitesse moyenne, masse effective Densité d'états, isolants vs métaux

Electrons presque libres, liaisons fortes

TRANSITIONS ELECTRONIQUES

Transition isolant métal
Influence des corrélations et du désordre
Interaction e/phonons : ondes de densité de charges
Notions de supraconductivité
Classification des solides, énergie de cohésion

Cas particulier 2: liaisons fortes

A l'opposé du modèle des électrons presque libres ce modèle cherche à décrire les électrons «peu délocalisés» : proches de leur couche interne

avec un recouvrement partiel d'un site à l'autre.

Il s'agit essentiellement des couches d (ou s, p profondes).

Si le premier modèle part d'une combinaison d'ondes planes, ce second modèle part alors d'une combinaison d'orbitales atomiques (les Ψ_m sont les états «m» liés associés à l'Hamiltonien «atomique» (en fait des fonctions de Vannier))

$$\Psi(r) = \sum_{R} \Psi_m(r - R)e^{ikR}$$

(on peut vérifier que cette fonction d'onde vérifie bien le théorème de Bloch)

$$\Psi(r+R') = \sum_{R} \Psi_m(r - (R-R'))e^{ikR} = e^{ikR'} \sum_{R} \Psi_m(r - (R-R'))e^{ik(R-R')} = e^{ikR'} \sum_{R''} \Psi_m(r - R'')e^{ikR''}$$

ELECTRONS DANS POTENTIEL PERIODIQUE

Réseaux cristallins, réseau réciproque, phonons Fonctions de Bloch ,vitesse moyenne, masse effective Densité d'états, isolants vs métaux

Electrons presque libres, liaisons fortes

TRANSITIONS ELECTRONIQUES

Transition isolant métal
Influence des corrélations et du désordre
Interaction e/phonons : ondes de densité de charges
Notions de supraconductivité
Classification des solides, énergie de cohésion

en supposant que : $H = H_{at} + U$ (U = couplage entre atomes) et que :

• le recouvrement des fonctions d'ondes atomiques est faible

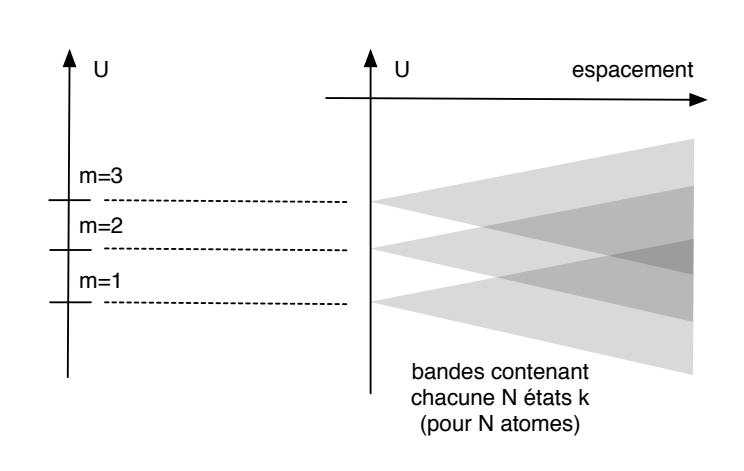
$$\bullet \quad \text{ et } \int \Psi_m^*(r) U \Psi_m(r) d^3 r = -\beta$$

• et
$$\sum_{R\neq 0} \int \Psi_m^*(r) U \Psi_m(r-R) e^{ikR} d^3r = -2 \sum_{ppv} \gamma(R) cos(kR)$$

et γ isotrope

$$E = E_m - \beta - 2\gamma \sum_{ppv} \cos(kR)$$

Remarque : on a également supposé ici que les niveaux atomiques sont bien disjoints, ces niveaux vont s'élargir pour former des bandes lorsque l'espacement entre atomes diminue (pour former le solide) et peuvent se recouvrir, on doit alors remplacer Ψ_m pour une combinaison linéaire de tous les Ψ_i ayant la même énergie : double somme sur i et R, le calcul se complique....



ELECTRONS DANS POTENTIEL PERIODIQUE

Réseaux cristallins, réseau réciproque, phonons Fonctions de Bloch ,vitesse moyenne, masse effective Densité d'états, isolants vs métaux

Electrons presque libres, liaisons fortes

TRANSITIONS ELECTRONIQUES

Transition isolant métal
Influence des corrélations et du désordre
Interaction e/phonons : ondes de densité de charges
Notions de supraconductivité
Classification des solides, énergie de cohésion

masse effective : liaisons fortes : $m^* = \hbar^2/2\gamma R^2$

et la largeur de la bande est 4γ donc si la bande est étroite les porteurs sont lourds (de moins en moins conducteurs)

retour sur les e presque libres : $E(k) = \frac{1}{2}(E_0(k) + E_0(k - K)) \pm \sqrt{(\frac{E_0(k) - E_0(k - K)}{2})^2 + |U_K|^2}$

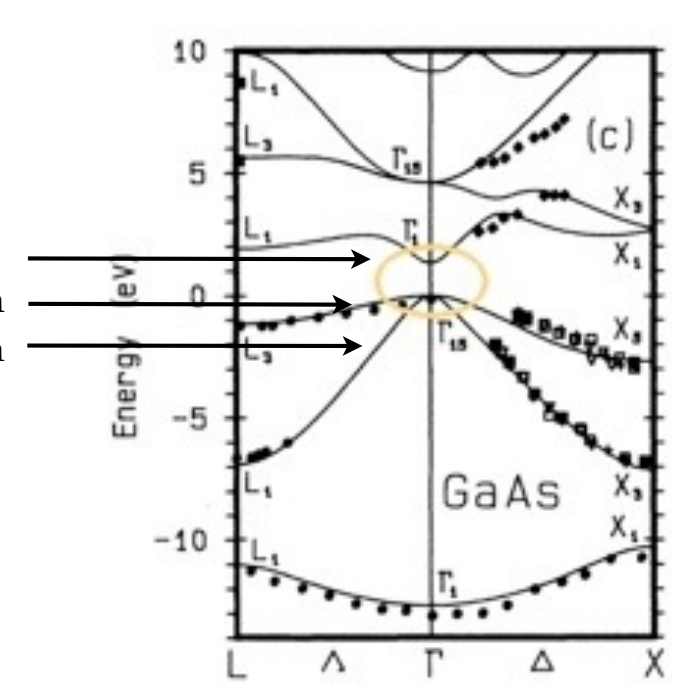
$$E_{\pm}(k) = [\lambda \pm U_K] + \hbar^2 (k - K/2)^2 [1 \pm 2\lambda/U_K]/2m + \dots$$

avec $\lambda = \hbar^2 (K/2)^2/2m$

soit par exemple : AsGa : m^*_e =0.07m

 m^*_{hh} =-0.5m m^*_{lh} =-0.08m

 $m^* = m/(1 \pm 2\lambda/U_K)$



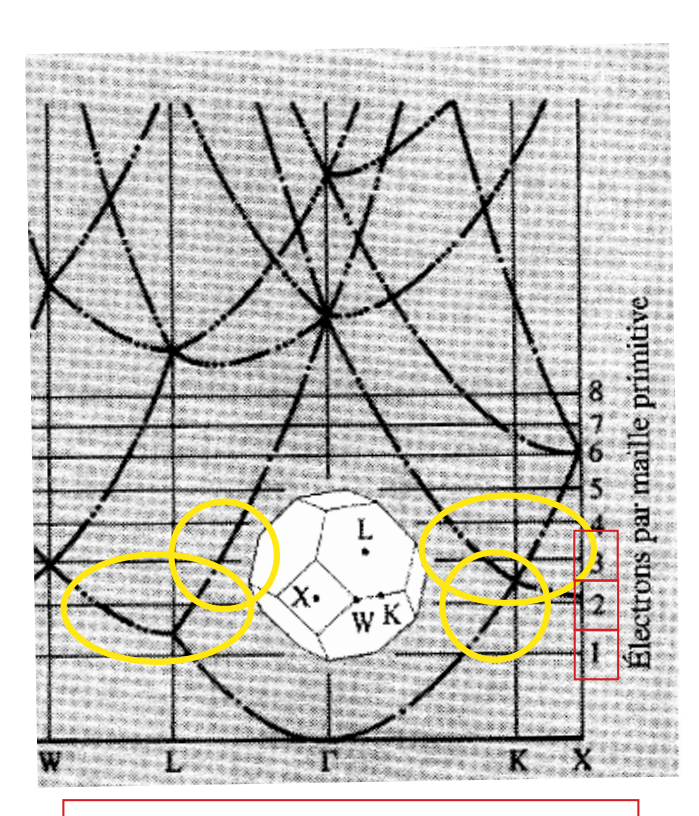
ELECTRONS DANS POTENTIEL PERIODIQUE

Réseaux cristallins, réseau réciproque, phonons Fonctions de Bloch ,vitesse moyenne, masse effective Densité d'états, isolants vs métaux

Electrons presque libres, liaisons fortes

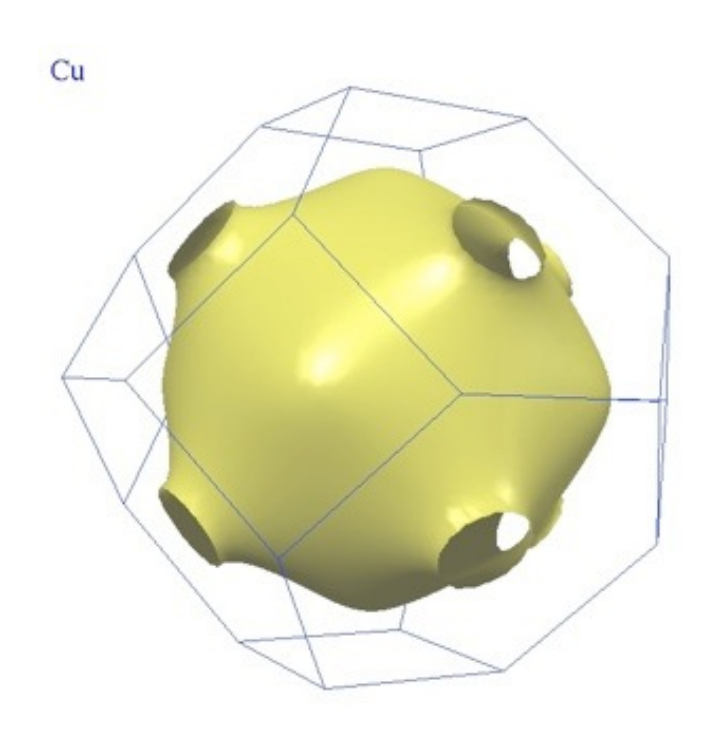
TRANSITIONS ELECTRONIQUES

Transition isolant métal
Influence des corrélations et du désordre
Interaction e/phonons : ondes de densité de charges
Notions de supraconductivité
Classification des solides, énergie de cohésion



Pour Z=1, E_F ne coupe E(k) que dans la $1^{\rm ere}$ ZB, loin des bords de zone La SF reste proche d'une sphere (e libres)

Pour Z=2, E_F coupe E(k) dans la 1^{ere} ZB et la 2^{eme} ZB



Si les différentes zones de Brillouin sont soit totalement vides soit totalement pleines [le niveau de Fermi se situe dans un gap pour TOUTES les directions de l'espace de k] les système est isolant, sinon il est métallique

seuls les systèmes pour Z paire peuvent être isolants (sauf correlations fortes) cela dépend alors de la FORCE DU POTENTIEL : nature chimique de l'ion et...

ELECTRONS DANS POTENTIEL PERIODIQUE

Réseaux cristallins, réseau réciproque, phonons Fonctions de Bloch ,vitesse moyenne, masse effective Densité d'états, isolants vs métaux

Electrons presque libres, liaisons fortes

TRANSITIONS ELECTRONIQUES

Transition isolant métal

Influence des corrélations et du désordre

Interaction e/phonons : ondes de densité de charges

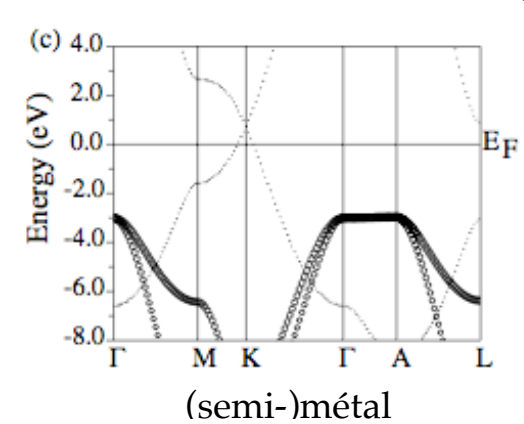
Notions de supraconductivité

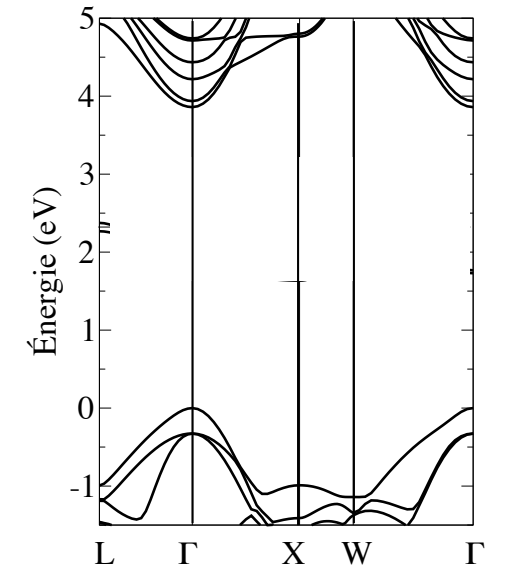
Classification des solides, énergie de cohésion

MgB₂: structure graphite (hexagonal+ ions Mg²⁺ intercalés)

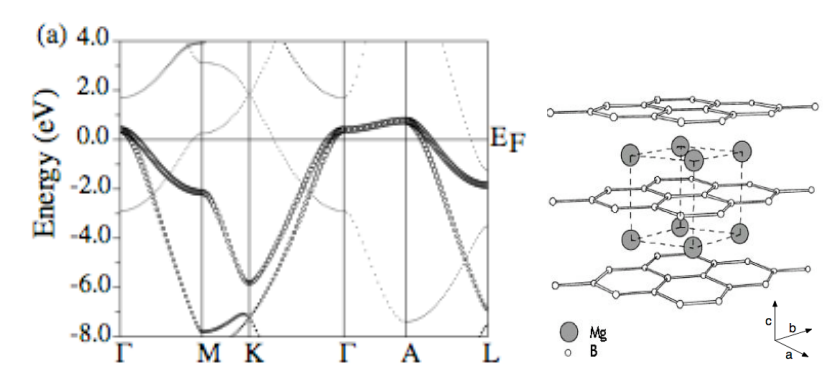
... de la symétrie du réseau

Carbone: structure graphite (hexagonal)





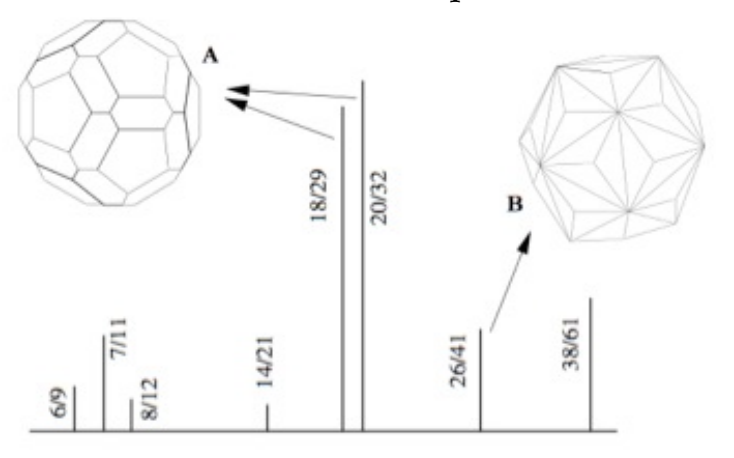
isolant à grand gap

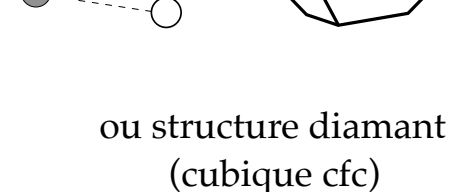


bon métal (supraconducteur)

pour obtenir des alliages intermétalliques isolants on a intérêt de trouver des structures pour lesquels la ZB est la plus symétrique possible (alliage de Hume-Rothery)

c'est aussi le cas des quasicristaux





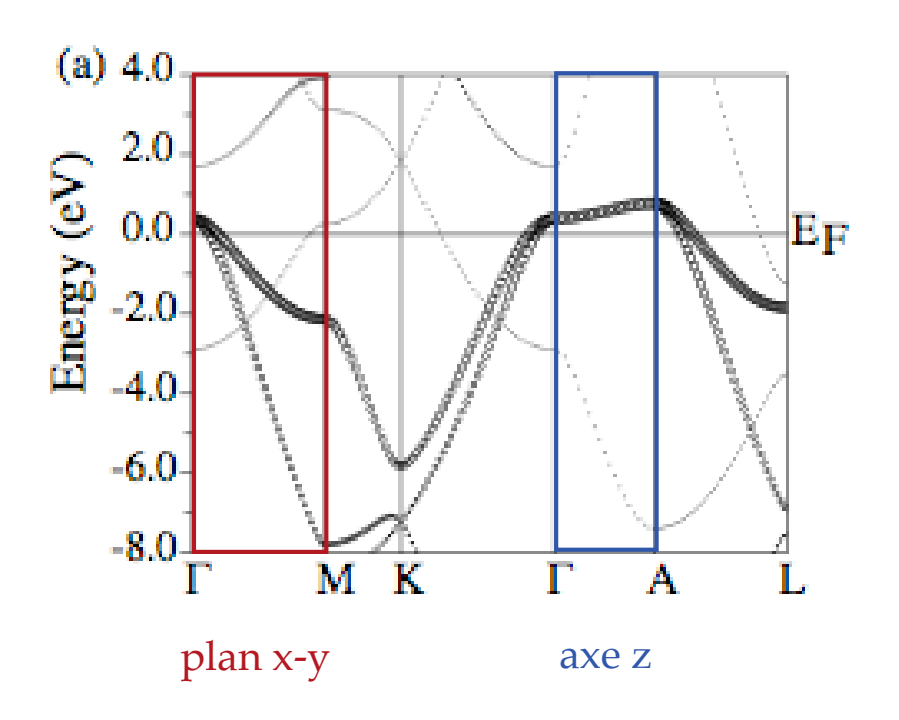
ELECTRONS DANS POTENTIEL PERIODIQUE

Réseaux cristallins, réseau réciproque, phonons Fonctions de Bloch, vitesse moyenne, masse effective Densité d'états, isolants vs métaux

Electrons presque libres, liaisons fortes

TRANSITIONS ELECTRONIQUES

Transition isolant métal Influence des corrélations et du désordre Interaction e/phonons : ondes de densité de charges Notions de supraconductivité Classification des solides, énergie de cohésion

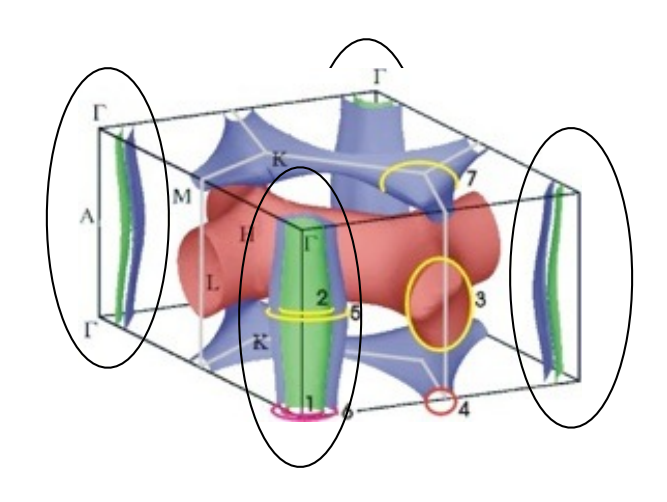


 MgB_2

 $E = \hbar^{2}(k_{x}^{2} + k_{y}^{2})/2m^{*} -2\gamma\cos(k_{z}c)$ e (presque) libres de se déplacer dans le plan x-y

mais fortement liées à ce plan x-y (liaisons fortes selon z)

Surface de Fermi = «cylindre» ondulé le long de kz (2 cylindres = 2 bandes)



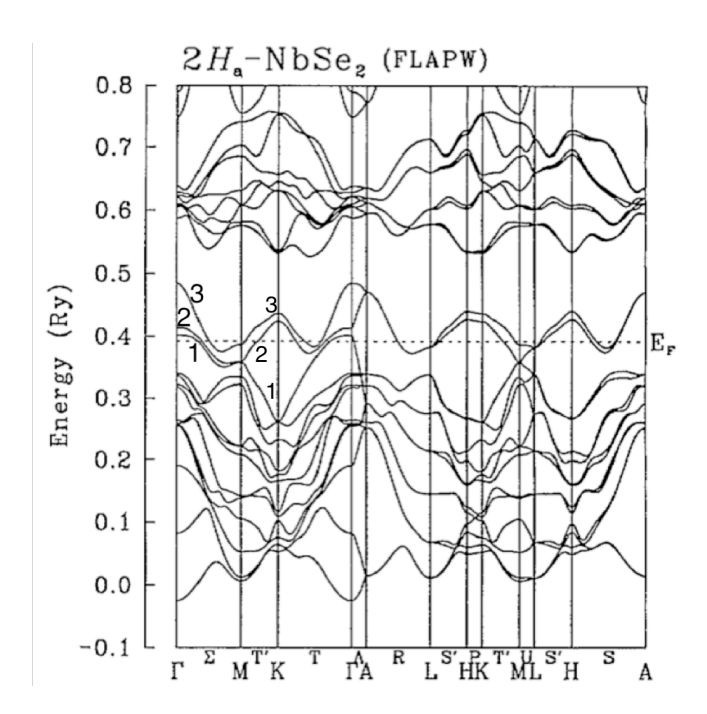
ELECTRONS DANS POTENTIEL PERIODIQUE

Réseaux cristallins, réseau réciproque, phonons Fonctions de Bloch ,vitesse moyenne, masse effective Densité d'états, isolants vs métaux

Electrons presque libres, liaisons fortes

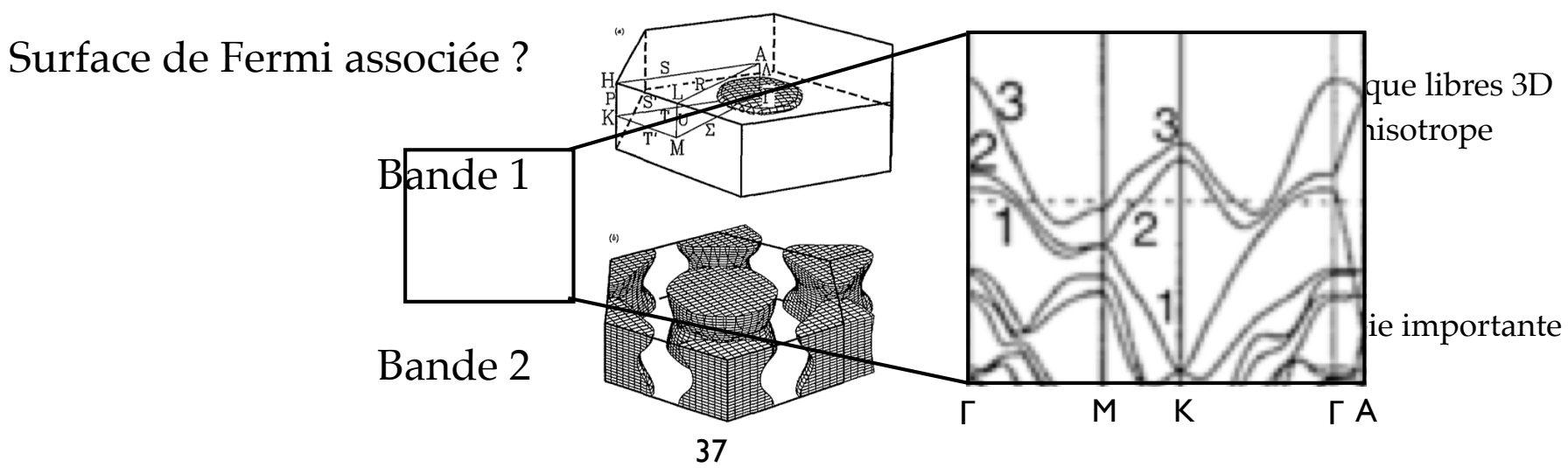
TRANSITIONS ELECTRONIQUES

Transition isolant métal
Influence des corrélations et du désordre
Interaction e/phonons : ondes de densité de charges
Notions de supraconductivité
Classification des solides, énergie de cohésion



métallique?

Nature des porteurs?



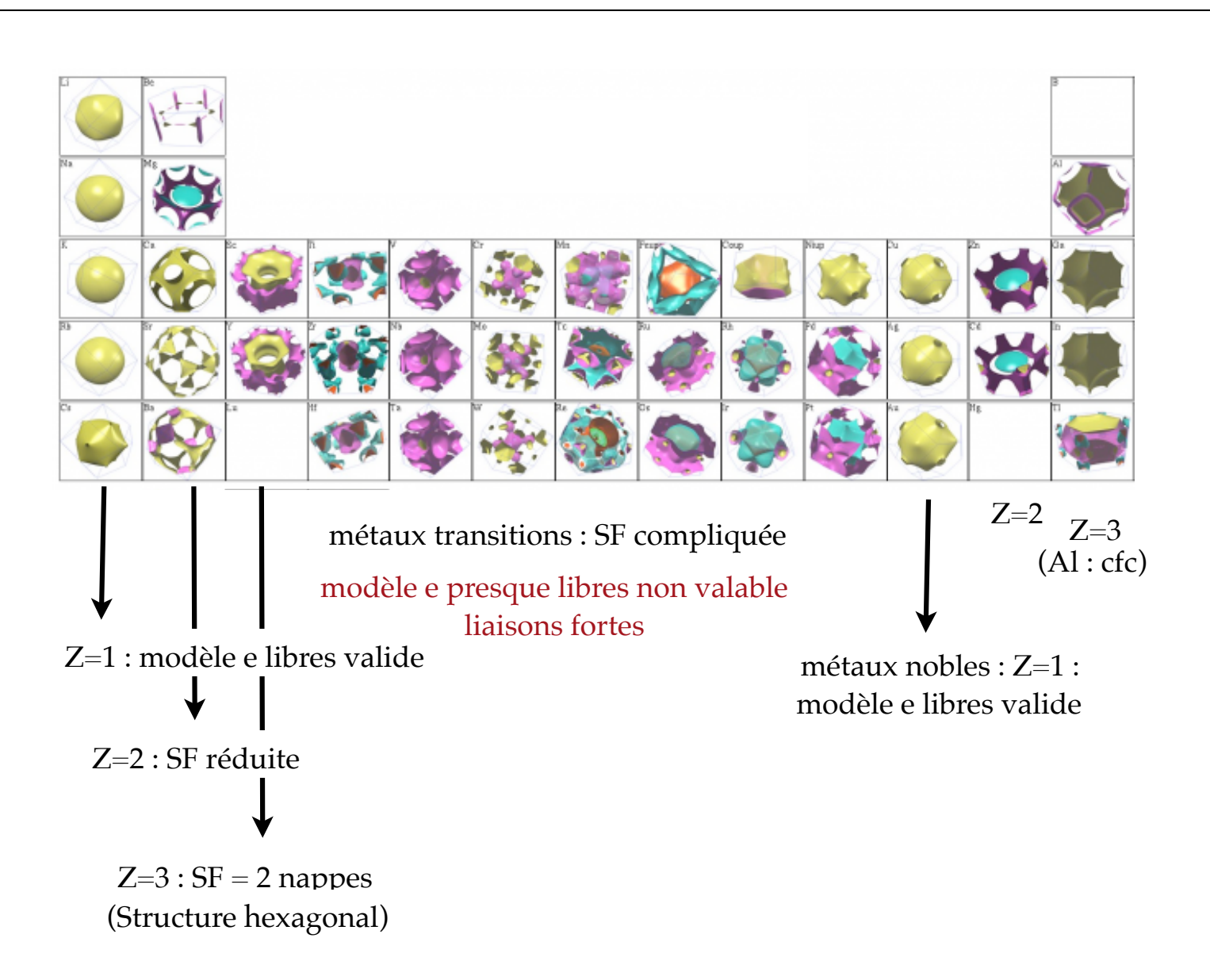
ELECTRONS DANS POTENTIEL PERIODIQUE

Réseaux cristallins, réseau réciproque, phonons Fonctions de Bloch ,vitesse moyenne, masse effective Densité d'états, isolants vs métaux

Electrons presque libres, liaisons fortes

TRANSITIONS ELECTRONIQUES

Transition isolant métal
Influence des corrélations et du désordre
Interaction e/phonons : ondes de densité de charges
Notions de supraconductivité
Classification des solides, énergie de cohésion

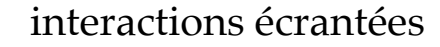


ELECTRONS DANS POTENTIEL PERIODIQUE Réseaux cristallins, réseau réciproque, phonons Fonctions de Bloch ,vitesse moyenne, masse effective Densité d'états, isolants vs métaux Electrons presque libres, liaisons fortes

TRANSITIONS ELECTRONIQUES Transition isolant métal

Influence des corrélations et du désordre

Interaction e/phonons : ondes de densité de charges Notions de supraconductivité Classification des solides, énergie de cohésion



(voir M2) sur un longueur caractéristique

$$L_{TF}^2 \sim (\frac{\pi}{4})^2 \frac{a_0}{k_F}$$

= longueur de THOMAS-FERMI

le système est métallique

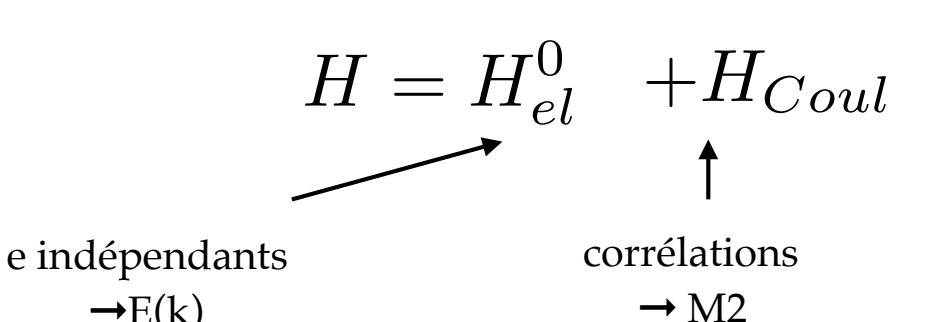
$$si L_{TF} < a_0$$

où a_0 = rayon de Bohr

i.e.
$$n_c^{1/3}a_0 > 0.2$$

MOTT 1950

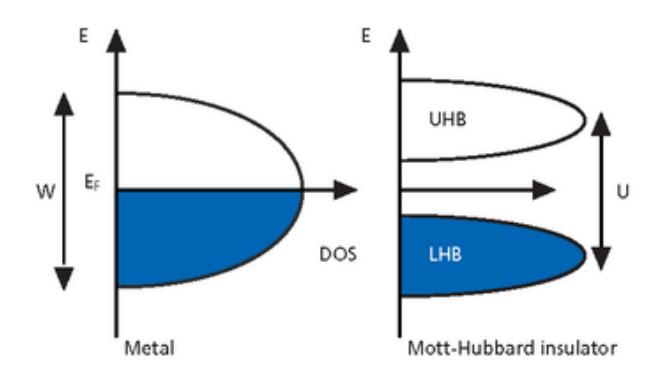
voir aussi Wigner 1943 : cristallisation d'un gaz d'électrons libre en un réseau carré



isolant de bandes n pair + structure cristalline

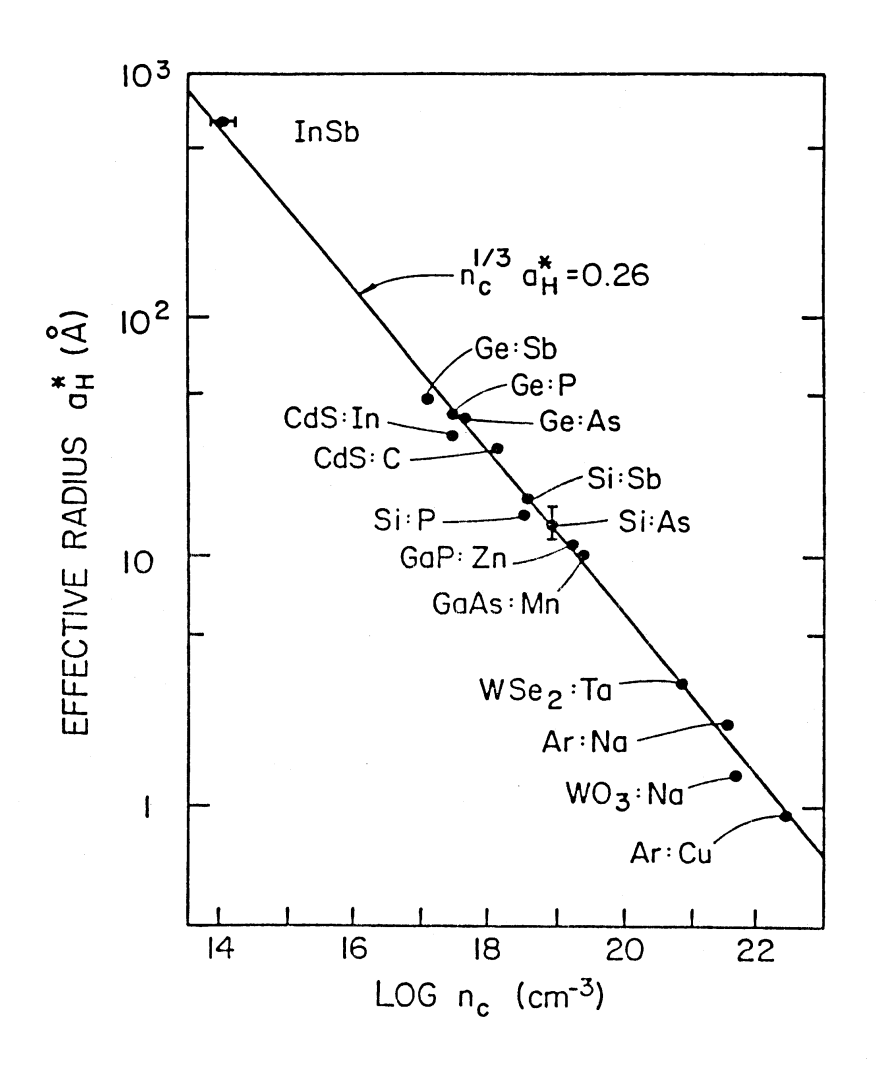
 $\rightarrow E(k)$

un système à n impair devrait être métallique mais répulsion Coulombienne U → « splitting » de la bande Isolant si **U>W** (Mott-Hubbard)



ELECTRONS DANS POTENTIEL PERIODIQUE Réseaux cristallins, réseau réciproque, phonons Fonctions de Bloch ,vitesse moyenne, masse effective Densité d'états, isolants vs métaux Electrons presque libres, liaisons fortes TRANSITIONS ELECTRONIQUES
Transition isolant métal
Influence des corrélations et du désordre

Interaction e/phonons : ondes de densité de charges Notions de supraconductivité Classification des solides, énergie de cohésion



Mais aussi : diffusion importante des électron en présence de **désordre**→ localisation des états électronique si **k**_F**l** ~**1** (l = libre parcours moyen)

(Anderson)

et
$$k_F \sim g(E_F)$$

→ densité critique [seuil de « mobilité »] en dessous de laquelle le système devient isolant même si la densité est NON NULLE

conductivité critique $\sigma_c \sim 0.1 \frac{e^2}{\hbar a}$ (a = distance interatomique)

ou PAS! (transition de phase continue)

n pair

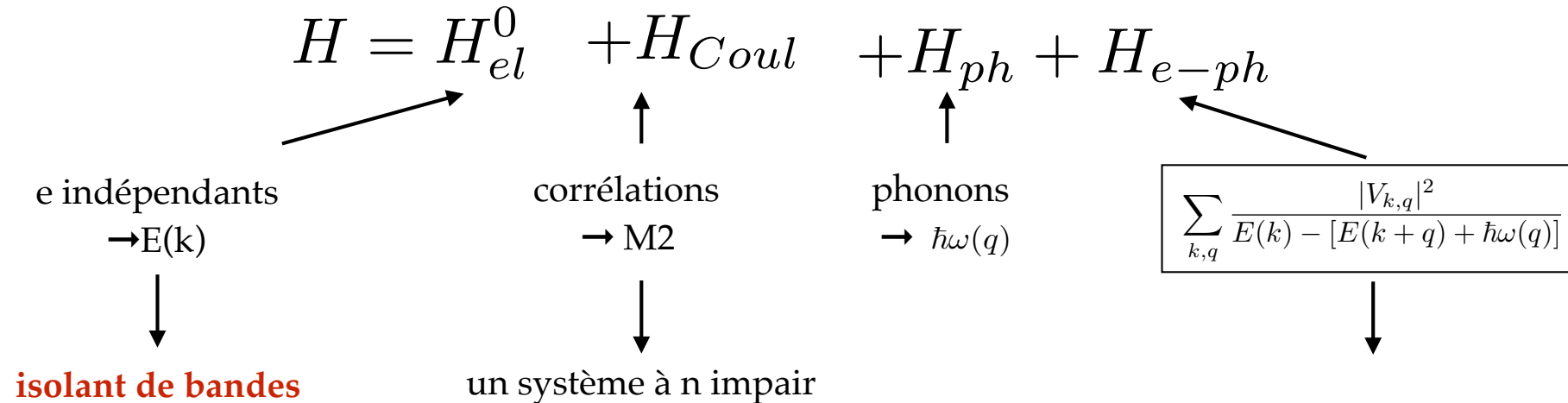
+ structure cristalline

ELECTRONS DANS POTENTIEL PERIODIQUE Réseaux cristallins, réseau réciproque, phonons Fonctions de Bloch ,vitesse moyenne, masse effective Densité d'états, isolants vs métaux Electrons presque libres, liaisons fortes TRANSITIONS ELECTRONIQUES

Transition isolant métal

Influence des corrélations et du désordre

Interaction e/phonons : ondes de densité de charges Notions de supraconductivité Classification des solides, énergie de cohésion



devrait être métallique mais **répulsion Coulombienne** U → « splitting » de la bande Isolant si **U>W** (Mott-Hubbard)

Les phonons sont à l'origine de la **dépendance en température de la résistivité** (ils «brisent» la périodicité en translation) : $\rho = \rho_{def} + \rho_{phonons}(T)$

dans un métal : $\rho_{phonons} \propto 1/\tau \propto T \; (\text{pour } T > \theta_D) \; \text{et} \propto T^5 \; (\text{pour } T < \theta_D)$ dans un semiconducteur <u>n n'est plus constant</u> et $\rho \propto \frac{exp[\Delta/k_BT]}{T^P}$

où $\Delta = E_{gap}/2$ et p~0 pour la diffusion par le réseau (p~3 pour la diffusion par les impuretés)

dans les cristaux (partiellement) ioniques (= polarisables), il peut y avoir une déformation locale du réseau au voisinage des électrons de conduction : déplacement possible de l'électron + déformation = POLARON

ELECTRONS DANS POTENTIEL PERIODIQUE Réseaux cristallins, réseau réciproque, phonons Fonctions de Bloch ,vitesse moyenne, masse effective Densité d'états, isolants vs métaux Electrons presque libres, liaisons fortes

TRANSITIONS ELECTRONIQUES

Transition isolant métal
Influence des corrélations et du désordre

Interaction e/phonons : ondes de densité de charges

Notions de supraconductivité Classification des solides, énergie de cohésion

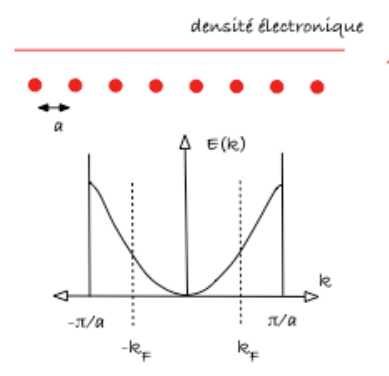
<u>interaction effective e/e via « l'échange » d'un phonon</u> $(k,k') \rightarrow (k-q,k'+q)$

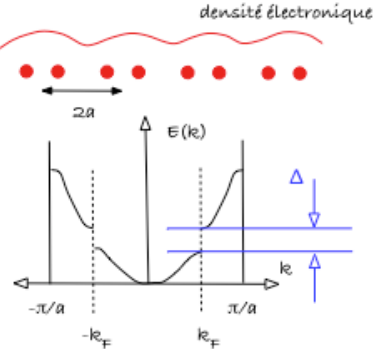
2 cas particuliers conduisent à $H_{e-ph}^1 + H_{e-ph}^2 < 0$: <u>ATTRACTION</u> ENTRE ELECTRONS

k'=k-q et **q couplent deux partie « en regard » de la surface de Fermi** (« nesting »)

→ fort ramollissement <u>du</u> phonon (q) → déformation STATIQUE = Onde de Densité de Charges

⇔ instabilités de Peierls
 dans les systèmes 1D (voir TP)





 $\mathbf{k'}$ =- \mathbf{k} quel que soit q (et $V_{k,q}$ =V : isotrope)

→ formation de <u>paires</u> de Cooper qui se condensent dans un état macroscopique unique = SUPRACONDUCTIVITE (BCS)

Dans les deux cas un **gap** apparaît dans la structure électronique à 1 électron mais si R=0 pour le supraconducteur, le piégeage de l'ODC par les défauts $\rightarrow R=\infty$ (pour $V<V_{seuil}$) mais dV/dI=0 pour $V>V_{seuil}$

ELECTRONS DANS POTENTIEL PERIODIQUE Réseaux cristallins, réseau réciproque, phonons Fonctions de Bloch ,vitesse moyenne, masse effective Densité d'états, isolants vs métaux Electrons presque libres, liaisons fortes

TRANSITIONS ELECTRONIQUES

Transition isolant métal Influence des corrélations et du désordre Interaction e/phonons : ondes de densité de charges

Notions de supraconductivité

Classification des solides, énergie de cohésion

1911: R=0 (Pb) Kammerlingh-Onnes/Holst

Supraconducteurs: 1933: **B=0** Meissner/Ochsenfeld

1955: théorie microscopique: BARDEEN-COOPER-SCHRIEFER

il existe un état d'énergie inférieure à E_F sur lequel vont se «condenser» les électrons compris entre E_F et E_F - Δ

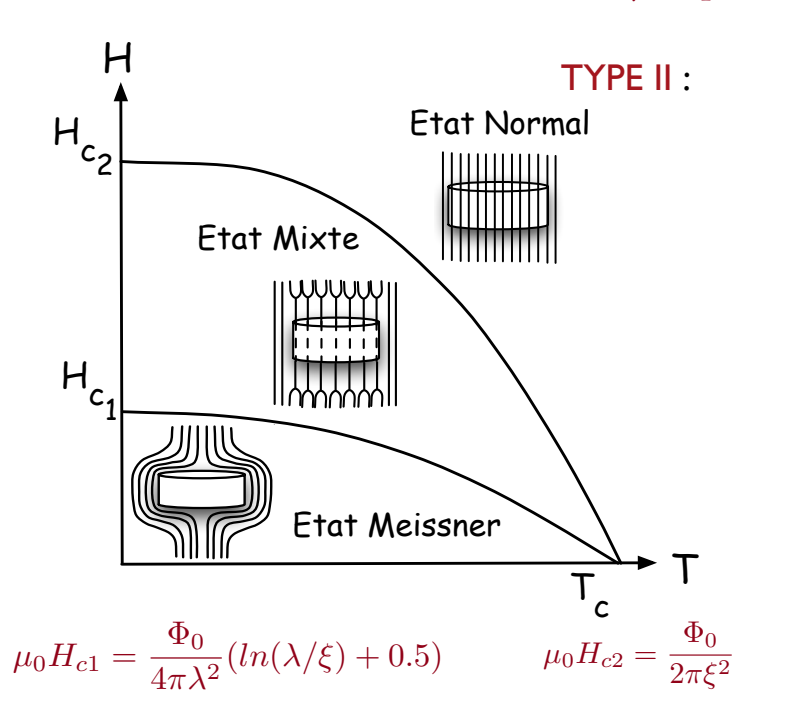
sous forme de paires avec

 $k_B T_c \sim \hbar \omega_D . exp(-1/\lambda)$ $\lambda \sim 2V^2 g(E_F)/\hbar \omega_D - U$

On peut montrer (principe d'incertitude) que la distance moyenne entre 2 électrons d'une paire est : $\xi \sim 0.2$. $\frac{\hbar v_F}{k_B T_c}$ Et : **B=0** au centre de l'échantillon, le champ est écranté sur une longueur caractéristique : $\lambda_L = \frac{m^*}{\mu_0 n q^2}$

on peut montrer qu'il existe 2 types de supraconducteurs selon le rapport λ/ξ

Pour les supraconducteurs de type I (tous les métaux simples sauf Nb): $\lambda/\xi < 1/\sqrt{2}$ la supraconductivité est brutalement détruite au dessus d'un champ critique alors que pour les supraconducteurs de type II (tous les alliages) l'état Meissner (B=0) est séparé de l'état normal par un état mixte (= **VORTEX**)



ELECTRONS DANS POTENTIEL PERIODIQUE Réseaux cristallins, réseau réciproque, phonons Fonctions de Bloch ,vitesse moyenne, masse effective Densité d'états, isolants vs métaux Electrons presque libres, liaisons fortes

TRANSITIONS ELECTRONIQUES

Transition isolant métal
Influence des corrélations et du désordre
Interaction e/phonons : ondes de densité de charges

Notions de supraconductivité

Classification des solides, énergie de cohésion

Quels sont les composés supraconducteurs ? presque tous les éléments purs sauf **Cu**,Ag,... et **Fe**,Co... (magnétiques) La T_c maximale est 9.1K : Nb et jusqu'à 23K : Nb₃Ge dans les alliages

L'aventure semblait avoir touché à sa fin mais « on ne saura plus rien à l'époque où on croira tout savoir » (Merlin l'enchanteur...)

1986 : Oxydes de **Cu (non BCS)** -> 138K,...

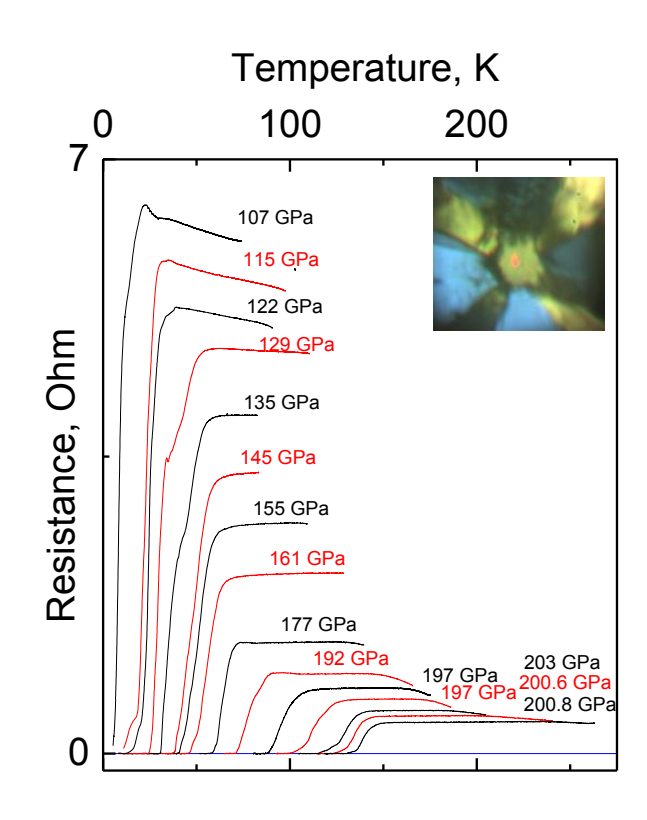
la compréhension du mécanisme physique à l'origine de cette nouvelle supraconductivité reste un des enjeux majeurs de la physique moderne

1988 : systèmes covalents (dopés) : A_3C_{60} également diamant (2004) et Si (2006) dopés

 $2001: MgB_2 \ {}^{\diamond} multigaps {}^{\rangle}$

2008 : X(O,F)**Fe**As,... $(T_c>50K)$

2014 : H_3S sous pression > 150GPa = 1.5106 bars... $T_c \sim 190K$



RAPPELS SUR LES ELECTRONS LIBRES Conductivité (Drude)

Surfaces de Fermi, densité d'états Propriétés des gaz quantiques

ELECTRONS DANS POTENTIEL PERIODIQUE

Réseaux cristallins, réseau réciproque, phonons Fonctions de Bloch ,vitesse moyenne, masse effective Densité d'états, isolants vs métaux Electrons presque libres, liaisons fortes

TRANSITIONS ELECTRONIQUES

Transition isolant métal
Influence des corrélations et du désordre
Interaction e/phonons : ondes de densité de charges
Notions de supraconductivité
Classification des solides, énergie de cohésion

METAUX

$$ec{J}=nqec{v}=\sigmaec{E}$$
 $\sigma=rac{nq^2 au}{m}$

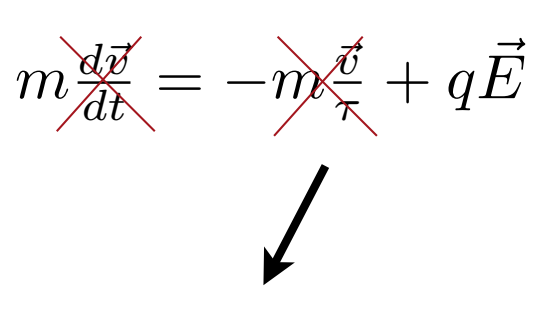
Drude applique la théorie cinétique des gaz

- néglige les interactions e/e et e/ions (en dehors des chocs)
- e subissent des collisions instantanées (Drude suppose qu'il s'agit des ions), élastiques qui assurent l'équilibre thermique avec le bain
- La probabilité de subir un choc est dt/ au

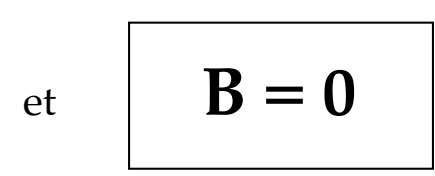
Equations de Maxwell

$$\triangle \vec{B} = \mu_0 \sigma \frac{\partial \vec{B}}{\partial t}$$
 ECRANTAGE DU CHAMP

épaisseur de peau
$$\delta = \sqrt{\frac{2}{\mu_0 \sigma \omega}}$$



SUPRACONDUCTEURS



$$\sigma = \infty$$

diamagnétisme parfait (au centre de l'échantillon)



$$\triangle \vec{B} = \vec{B}/\lambda^2$$
 EXPULSION DU CHAMP

$$\lambda^2 = \frac{m}{\mu_0 n q^2} \quad \begin{array}{c} \text{longueur de pénétration} \\ \text{de London} \end{array}$$

ELECTRONS DANS POTENTIEL PERIODIQUE

Réseaux cristallins, réseau réciproque, phonons Fonctions de Bloch ,vitesse moyenne, masse effective Densité d'états, isolants vs métaux

Electrons presque libres, liaisons fortes

TRANSITIONS ELECTRONIQUES

Transition isolant métal
Influence des corrélations et du désordre
Interaction e/phonons : ondes de densité de charges
Notions de supraconductivité
Classification des solides, énergie de cohésion

électrons dans un champ magnétique

 $p \rightarrow p\text{-eA}$: Hamiltonien \Leftrightarrow oscillateur harmonique electrons se déplacent sur SF en décrivant des orbites \perp H

$$\frac{\hbar^2}{2m}(k_{\perp}^2 + k_z^2) \to \frac{\hbar eB}{m}(n + \frac{1}{2}) + \frac{\hbar^2 k_z^2}{2m}$$

$$\frac{\hbar^2 A_k}{2\pi m}$$
 — Surface perpendiculaire à H

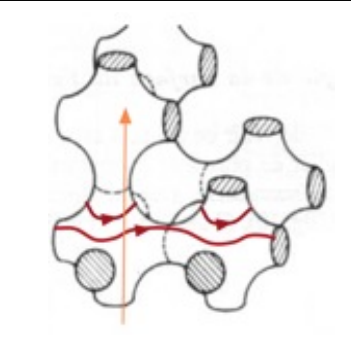
Le champ «sélectionne» les orbites entourant une surface (niveaux de Landau)

Les surfaces «extrêmes» correspondent à la densité

Fffet H

2.5 | (PO₂)₄(WO₃)₁₀ | T = 0.3 K | I = 1 mA // a+b | B // c | Shubnikov de Haas oscillations in a Quasi-two-dimensionnal compound | 1.5 | B (T)

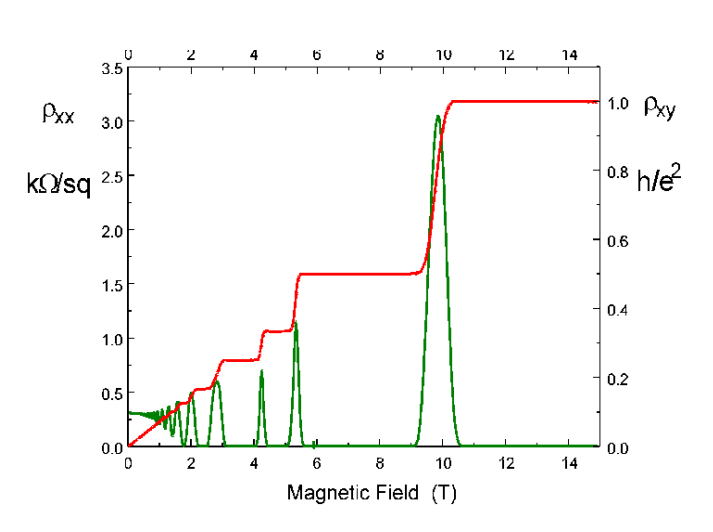
d'états la plus forte : oscillation de fréquence :



$$A_k = \frac{2\pi eB}{\hbar}(n+1/2)$$

$$\Delta(1/B) = \frac{2\pi e}{\hbar A_k^{ext}}$$

Effet Hall quantique

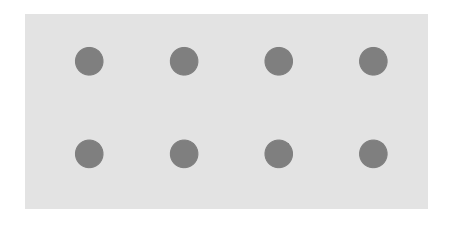


ELECTRONS DANS POTENTIEL PERIODIQUE Réseaux cristallins, réseau réciproque, phonons Fonctions de Bloch ,vitesse moyenne, masse effective Densité d'états, isolants vs métaux Electrons presque libres, liaisons fortes

TRANSITIONS ELECTRONIQUES

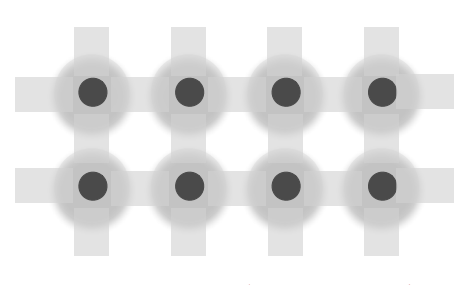
Transition isolant métal
Influence des corrélations et du désordre
Interaction e/phonons : ondes de densité de charges
Notions de supraconductivité

Classification des solides, énergie de cohésion



métaux

Isolants Covalents: distribution électronique spatiale ~ métaux mais pas de bandes partiellement remplies: distribution non uniforme (≠ ondes planes): densité d'états faible dans les régions interstitielles: directions privilégiées = «liaisons» (chimiste: sp3: diamant, sp2: graphite): Si,C,...



Isolants (covalents)

$$H = \sum_{i=1}^{N} -\frac{\hbar^{2} \nabla_{i}^{2}}{2m} - Ze^{2} \sum_{R} \frac{1}{|r_{i} - R|} + \frac{1}{2} \sum_{i \neq j} \frac{e^{2}}{|r_{i} - r_{j}|} = E_{c} + U^{ION} + U^{el} + U^{ECH}$$

 $U^{el}: interaction \ Coulombienne \ directe, \ U^{ech}=terme \ dit \ «d'échange» \ liée à la (anti-) symétrie \ de la fonction \ d'onde (M2)$

Pour des ondes planes : $E_c = 3E_F/5$ (electrons libres) = $30.1/(r_s/a_0)^2$ [eV] avec $(4/3\pi r_s^3 = V/N)$ et $a_0 = h^2 \epsilon_0/\pi mq^2$

 $U^{ION} + U^{el} = 0 \; (pas \; de \; cohésion \; associée \; \grave{a} \; l'interaction \; Coulombienne \; directe) \; - \; U^{ECH} = - \; 12.5/(r_s/a_0) \; [eV] \; (pas \; de \; cohésion \; associée \; \grave{a} \; l'interaction \; Coulombienne \; directe) \; - \; U^{ECH} = - \; 12.5/(r_s/a_0) \; [eV] \; (pas \; de \; cohésion \; associée \; \grave{a} \; l'interaction \; Coulombienne \; directe) \; - \; U^{ECH} = - \; 12.5/(r_s/a_0) \; [eV] \; (pas \; de \; cohésion \; associée \; \grave{a} \; l'interaction \; Coulombienne \; directe) \; - \; U^{ECH} = - \; 12.5/(r_s/a_0) \; [eV] \; (pas \; de \; cohésion \; associée \; \grave{a} \; l'interaction \; Coulombienne \; directe) \; - \; U^{ECH} = - \; 12.5/(r_s/a_0) \; [eV] \; (pas \; de \; cohésion \; associée \; \grave{a} \; l'interaction \; Coulombienne \; directe) \; - \; U^{ECH} = - \; 12.5/(r_s/a_0) \; [eV] \; (pas \; de \; cohésion \; associée \; \grave{a} \; l'interaction \; Coulombienne \; directe) \; - \; U^{ECH} = - \; 12.5/(r_s/a_0) \; [eV] \; (pas \; de \; cohésion \; associée \; \grave{a} \; l'interaction \; Coulombienne \; directe) \; - \; U^{ECH} = - \; 12.5/(r_s/a_0) \; [eV] \; (pas \; de \; cohésion \; associée \; \grave{a} \; l'interaction \; Coulombienne \; directe) \; - \; U^{ECH} = - \; 12.5/(r_s/a_0) \; [eV] \; (pas \; de \; cohésion \; associée \; \grave{a} \; l'interaction \; Coulombienne \; directe) \; - \; U^{ECH} = - \; 12.5/(r_s/a_0) \; [eV] \; (pas \; de \; cohésion \; associée \; \grave{a} \; l'interaction \; Coulombienne \; directe) \; - \; U^{ECH} = - \; 12.5/(r_s/a_0) \; [eV] \; (pas \; de \; cohésion \; associée \; \grave{a} \; l'interaction \; Coulombienne \; directe) \; - \; U^{ECH} = - \; 12.5/(r_s/a_0) \; [eV] \; (pas \; de \; cohésion \; associée \; \grave{a} \; l'interaction \; Coulombienne \; directe) \; - \; U^{ECH} = - \; 12.5/(r_s/a_0) \; [eV] \; (pas \; de \; cohésion \; associée \; a \; l'interaction \; Coulombienne \; directe) \; - \; U^{ECH} = - \; 12.5/(r_s/a_0) \; [eV] \; (pas \; de \; cohésion \; associée \; a \; l'interaction \; Coulombienne \; l'interaction \; Coulombienne \; l'interaction \; Coulombienne \; l'interaction \;$

-> valeur «universelle» pour $(r_s/a_0)_{eq} = 4.8$ mais l'expérience donne 2 à 6 selon les métaux

calcul «réaliste» (\neq ondes planes): $U^{ION}+U^{el}+U^{ECH}=-36.8/(r_s/a_0)$ [eV] soit $r_s/a_0=1.6$, pas mieux....

problème écrantage $e/r \rightarrow e^{-k_0 r} e/r$, volume occupé par les électrons de coeur $E_c \neq \frac{3E_F}{5}$

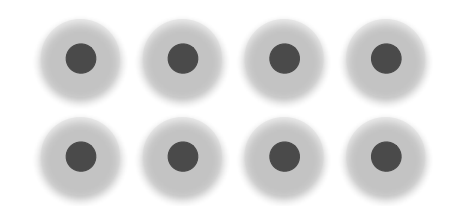
ELECTRONS DANS POTENTIEL PERIODIQUE Réseaux cristallins, réseau réciproque, phonons Fonctions de Bloch ,vitesse moyenne, masse effective Densité d'états, isolants vs métaux Electrons presque libres, liaisons fortes

TRANSITIONS ELECTRONIQUES

Transition isolant métal
Influence des corrélations et du désordre
Interaction e/phonons : ondes de densité de charges
Notions de supraconductivité

Classification des solides, énergie de cohésion

- Moléculaires : atomes : couches électroniques remplies : peu de changement dans le solide. Cohésion = forces de van der Waals (dipolaire $E\sim 1/r^6$) : Ne, Ar,K,... (gaz rares)



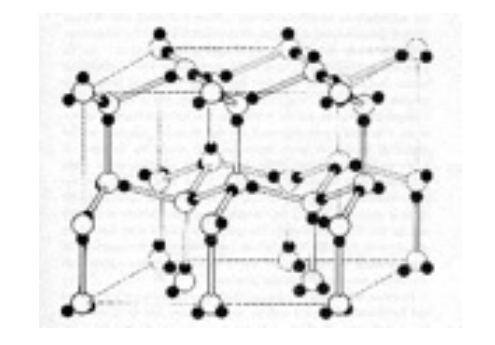
pas de déformation sensible des orbitales atomiques : bon résultat à partir d'une approche simple , $U = \mathbf{van} \ \mathbf{der} \ \mathbf{Waals} \ (-A/r^6) + \mathbf{potentiel} \ répulsif à \underline{\mathbf{courte} \ \mathbf{portée}} \ \mathbf{que} \ \mathbf{l'on} \ \mathbf{suppose} \ B/r^{12} = \mathbf{Lennard-Jones}$

$$U_{TOT} = (1/2) \sum_{R \neq 0} U(R) = 4\epsilon [(\sigma/d)^{12} - (\sigma/d)^6]$$

très bon accord avec mesures dans les gaz rares

- Liaison hydrogène:

- (1) H proche de He stable pour seulement 2e sur couche externe : ne peut créer de liaison qu'avec UN atome ≠ covalents et
- (2) énergie de ionisation 13.6eV plus forte que autres ions (Na $^+$,... ~ 4eV) \neq ionique. «Ion H $^+$ » = proton : rayon 10 $^{-13}$ m (10 5 fois plus petit que tous les autres ions) H vient se «coller» sur ion électronégatif (O) le long de la ligne O-H-O = «liaison» (essentiellement dipolaire mais 10x plus forte que cristaux moléculaires).



A noter : forte entropie de configuration dans la répartition possible des H.

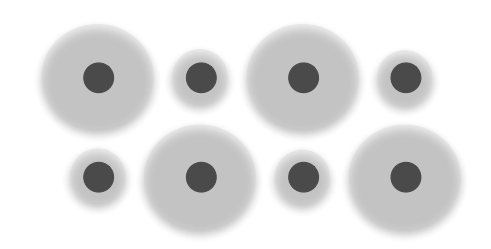
ELECTRONS DANS POTENTIEL PERIODIQUE Réseaux cristallins, réseau réciproque, phonons Fonctions de Bloch ,vitesse moyenne, masse effective Densité d'états, isolants vs métaux Electrons presque libres, liaisons fortes

TRANSITIONS ELECTRONIQUES

Transition isolant métal
Influence des corrélations et du désordre
Interaction e/phonons : ondes de densité de charges
Notions de supraconductivité

Classification des solides, énergie de cohésion

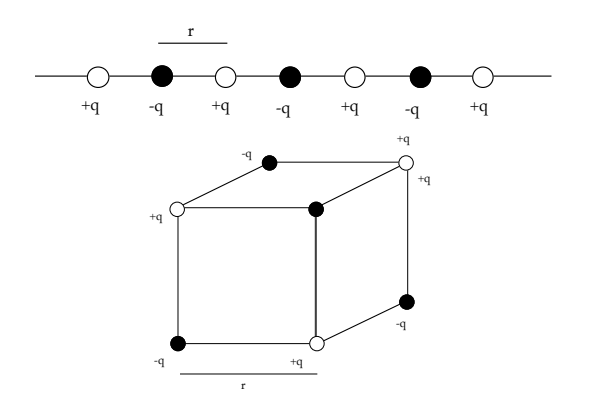
- <u>Ioniques</u> : comme pour les cristaux moléculaires la densité électronique reste localisée proche des ions mais dans ce cas un des composants a un (ou plusieurs) electron sur sa couche périphérique qui peut être «capté» par l'autre constituant pour donner A^+B^- : interaction électrostatique : NaCl,... (sels)



$$\text{interaction \'electrostatique} \quad U = -\frac{N}{2} \frac{e^2}{4\pi\epsilon_0 d} [\sum_R \frac{1}{\alpha(R+d)} - \sum_{R \neq 0} \frac{1}{\alpha(R)}] = -\frac{N}{2} \frac{\Omega e^2}{4\pi\epsilon_0 d}$$

R = vecteur du réseau d = distance A^+/B^- et $|R| = \alpha(R)d$

 Ω = constante de Madelung, comme pour les cristaux moléculaires, il faut rajouter une <u>répulsion à courte portée</u> : B/r^m, m : 6 à 10



chaine linéaire infinie : $\Omega = 2(1-1/2+1/3+...) = 2Ln2 = 1.386$

cluster de 8 atomes : $\Omega = (3-3/2^{1/2}+1/3^{1/2}) = 1.456$

réseau cubique cfc (NaCl) : $\Omega = 1.748$